



Pericolosità idraulica a valle delle dighe

## I caratteri del fenomeno



Cedimento di uno sbarramento in materiale sciolto Delton lake's – Wisconsin (USA)

www.sjrkumar.com

Cedimento di uno sbarramento in calcestruzzo Mullaperiyar Dam - India

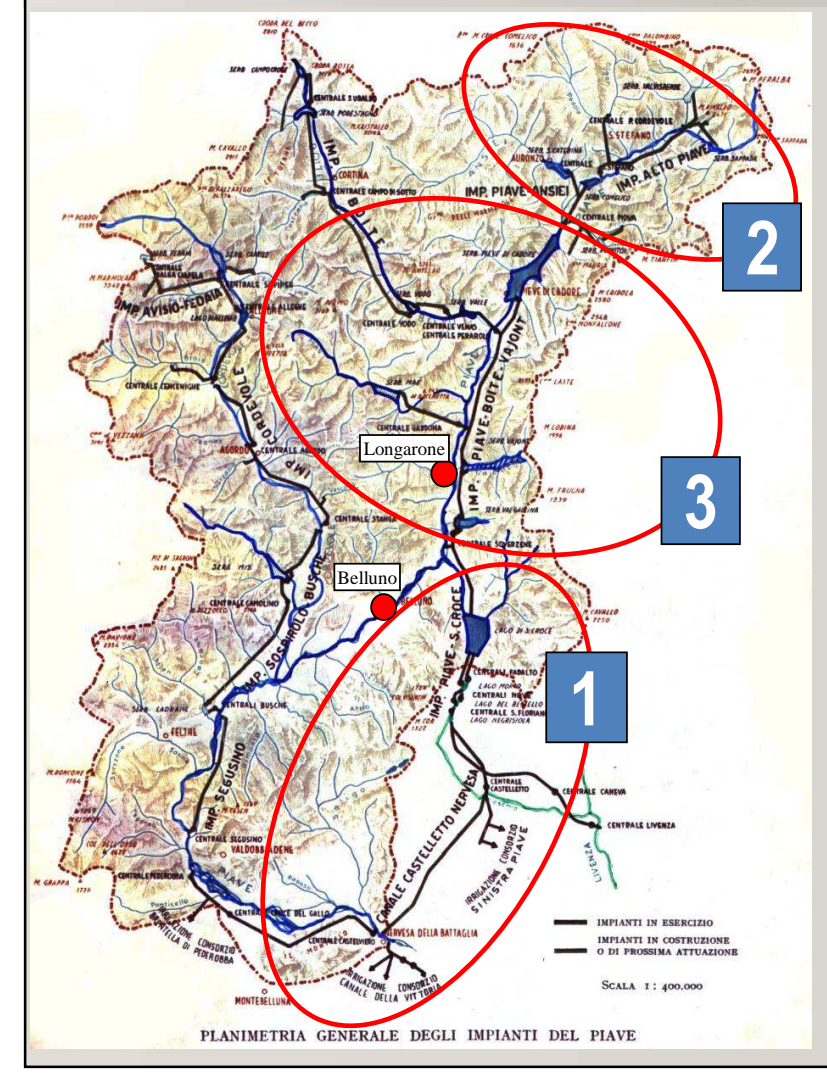


# Perché questo tipo di indagine

- Per un'asta fluviale interessata dalla presenza di serbatoi, affiancata da centri abitati e produttivi e da infrastrutture viarie di primaria importanza, l'analisi delle conseguenze della propagazione di un'onda impulsiva generata dal cedimento di una diga è necessaria, se si vuole inquadrare in un contesto realistico le conseguenze di eventi che, pur ipotetici o con ridottissima probabilità di accadimento, potrebbero comunque determinarsi.
- Si tratta di un'analisi che dovrebbe essere condotta al meglio delle possibilità tecnico-scientifiche e che dovrebbe essere costantemente aggiornata in considerazione sia delle mutate condizioni del territorio esposto al pericolo di inondazione sia, e soprattutto, del progresso delle conoscenze in un campo, quello della propagazione delle onde impulsive, per il quale sono attesi ancora significativi progressi, per conseguire un migliore inquadramento dei fenomeni e risultati migliori rispetto a quelli oggi raggiungibili.

# Longarone Fiere-Centro congressi settembre 2013

Pericolosità idraulica a valle delle dighe





Il sistema degli impianti del Piave è formato da tre sottosistemi realizzati in tempi diversi ma collegati fra loro in modo da sfruttare al meglio le risorse idrauliche del fiume

I primi furono gli impianti Piave-Santa Croce, costruiti nel decennio 1919-1929, inserendo nel sistema anche l'utilizzazione delle acque del lago di Santa Croce, già impiegate negli esistenti impianti di Fadalto e Nove, edificati negli anni immediatamente precedenti la prima guerra mondiale.

Il secondo gruppo interessò l'Alto Piave con l'impianto denominato Piave-Ansiei formato dai serbatoi di Santo Stefano di Cadore (diga del Comelico) e di Auronzo (diga di Santa Caterina) sull'Ansiei, costruiti nel periodo 1929-1932 dalla Società Forze Idrauliche Alto Cadore, poi assorbita dalla SADE nel 1933.

Il terzo gruppo è costituito dagli impianti noti come Piave-Boite-Maè-Vaiont.











# Le conseguenze idrauliche del cedimento di una diga possono essere esaminate con l'ausilio di modelli numerici.

## Per contenere la potenza di calcolo necessaria alla soluzione :

• i problemi riguardanti i tratti d'alveo posti immediatamente a valle dello sbarramento, che sono interessati da una rapida evoluzione delle portate nel tempo, da elevati valori delle velocità e, soprattutto, da importanti processi di interazione della corrente con il fondo,

#### conviene che siano disaccoppiati

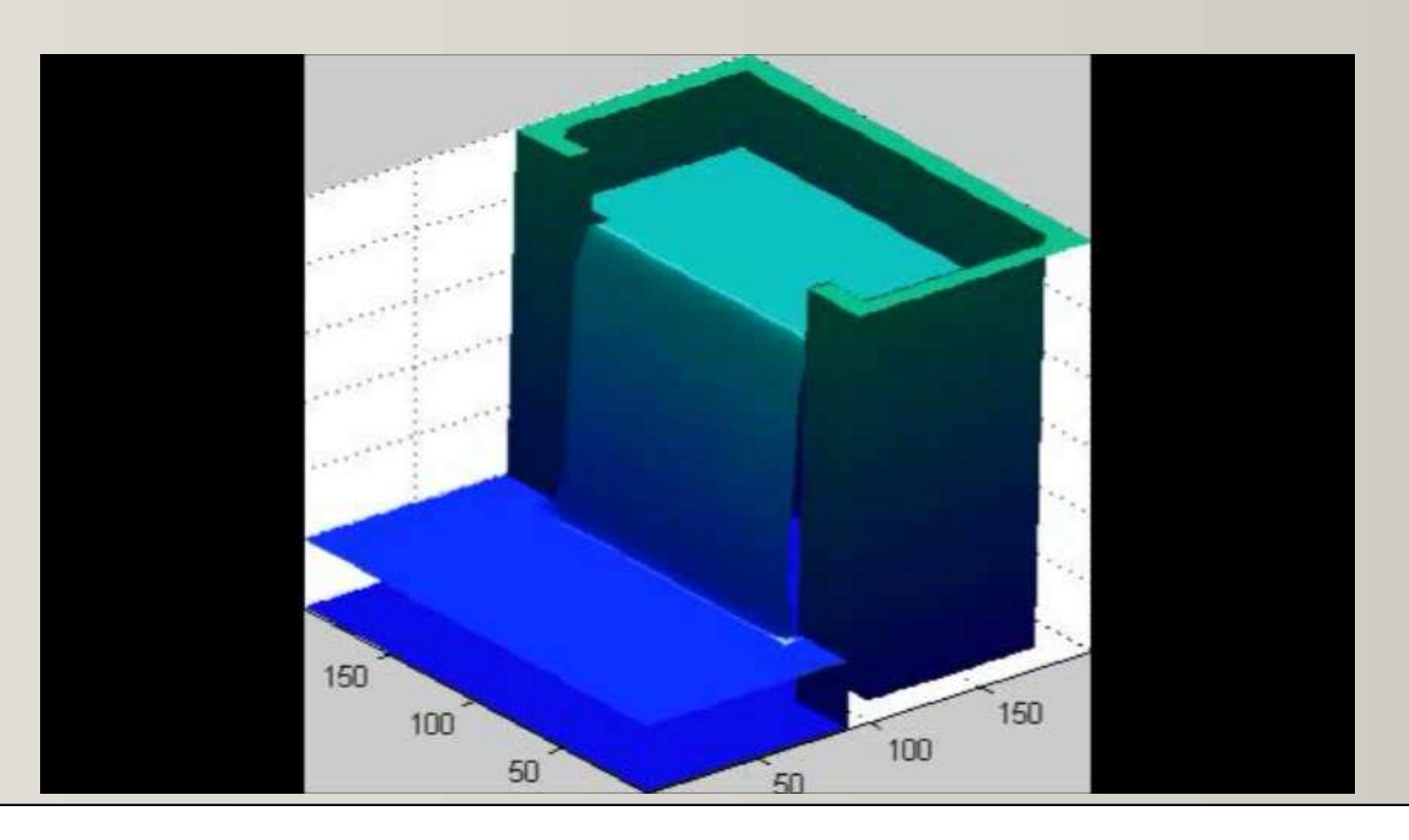
• rispetto ai fenomeni che interessano i tratti d'alveo situati più a valle, lungo i quali l'onda impulsiva generata tende sostanzialmente a propagarsi assumendo il comportamento di un'onda lunga in acque basse.





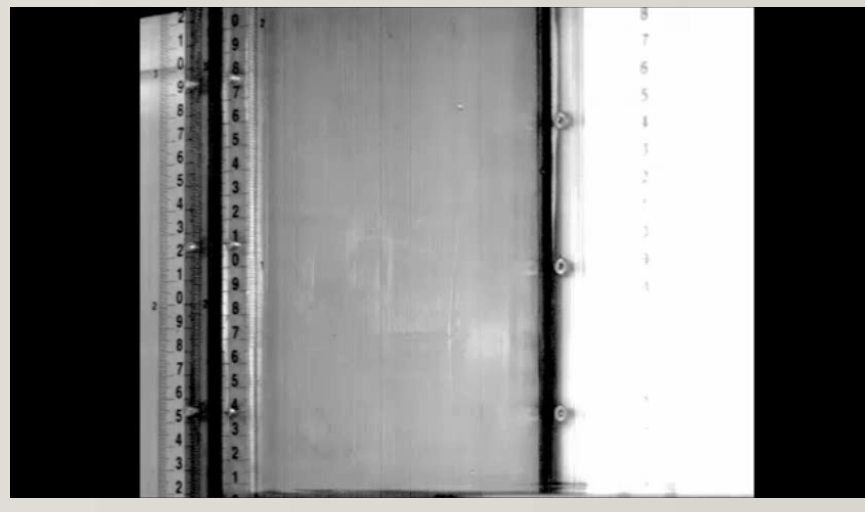
Pericolosità idraulica a valle delle dighe

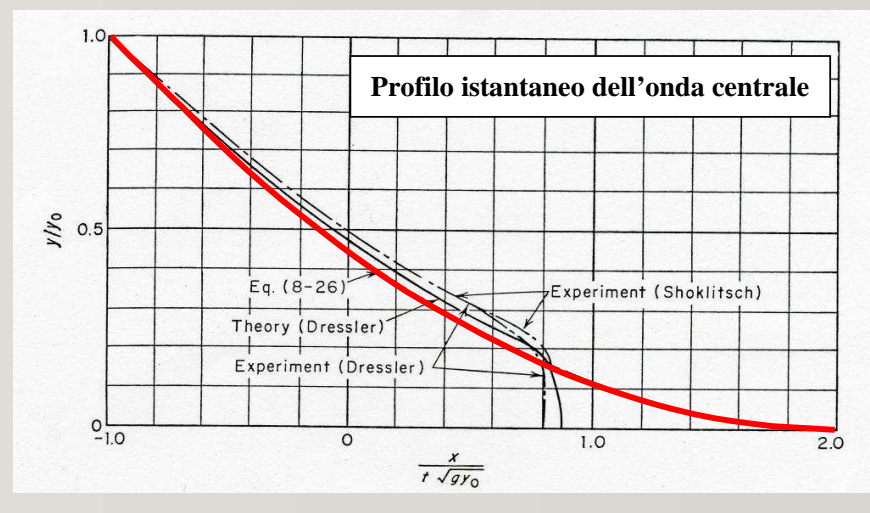
# Caratteri idraulici dell'onda di sommersione generata dal cedimento di uno sbarramento a ridosso della struttura



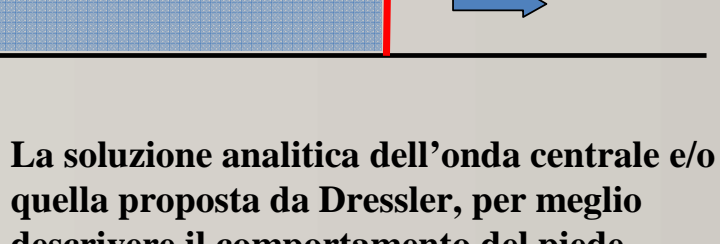
# Longarone Fiere-Centro congressi settembre 2013

Pericolosità idraulica a valle delle dighe

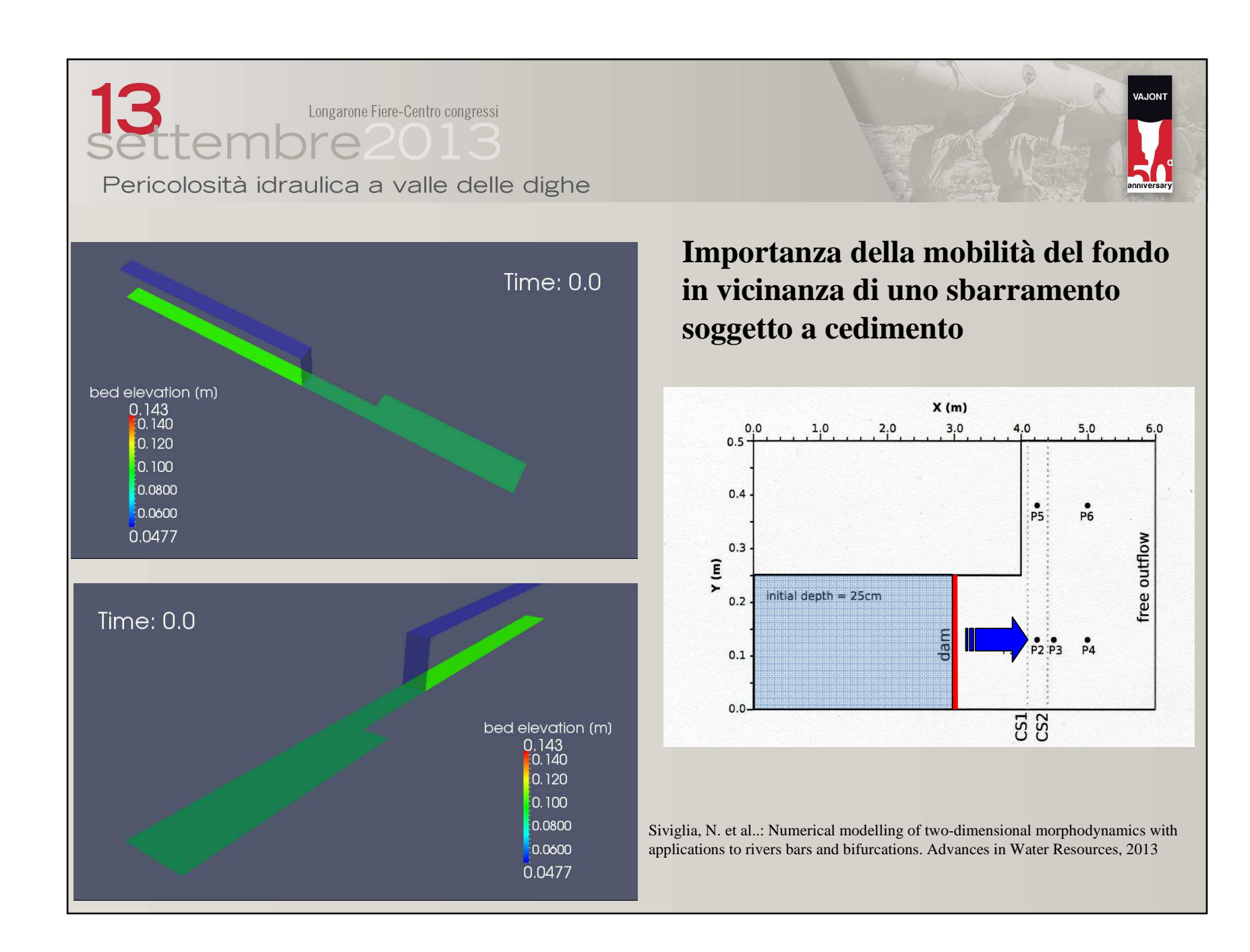


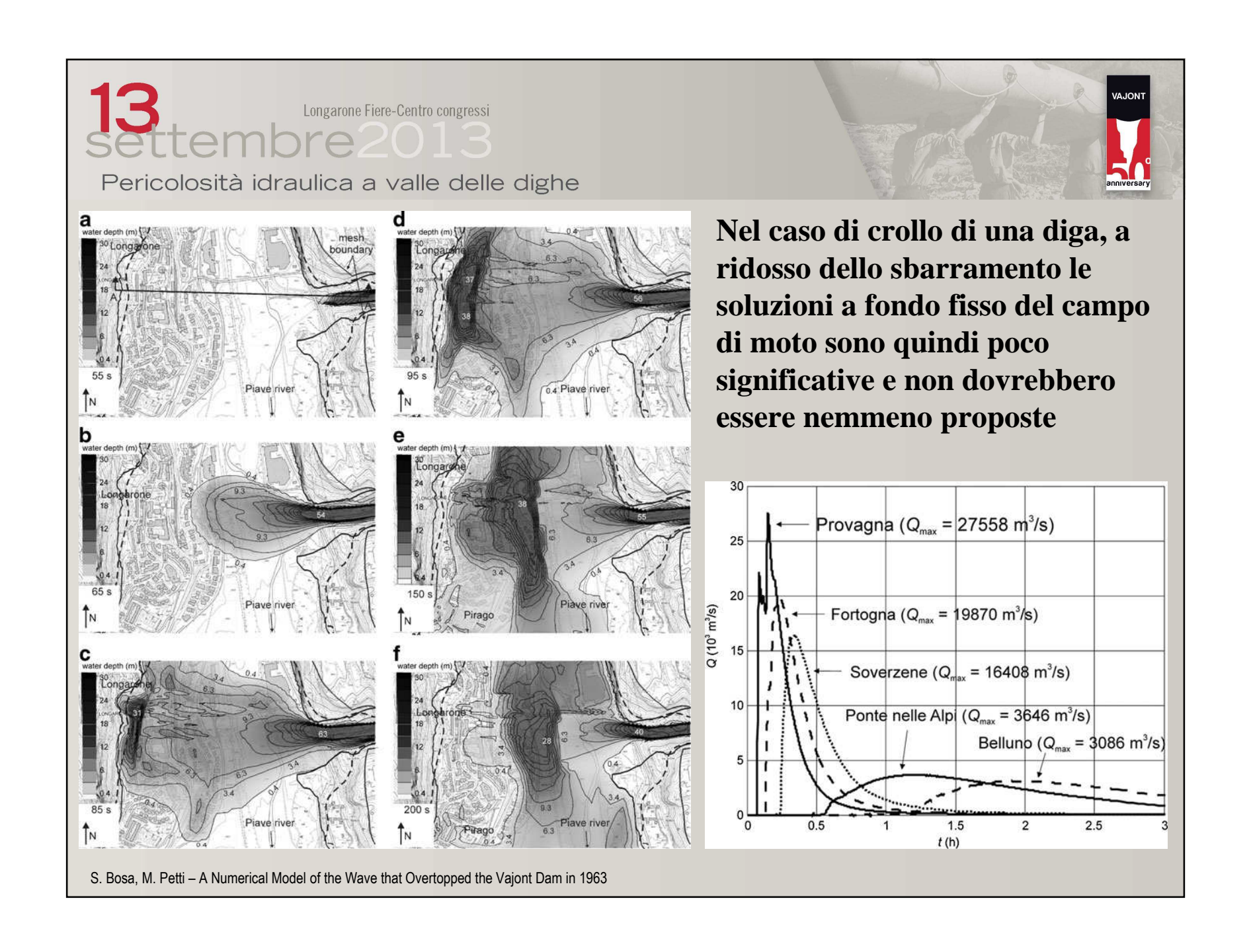


Dal punto di vista ingegneristico, il ruolo delle curvature del moto sulla distribuzione delle pressioni nel fenomeno dell'onda generata dal crollo di una diga non è così rilevante, come a volte si vuol far credere



La soluzione analitica dell'onda centrale e/o quella proposta da Dressler, per meglio descrivere il comportamento del piede dell'onda (sempre conservando l'ipotesi di distribuzione idrostatica delle pressioni) ben si confronta con i risultati sperimentali









Pericolosità idraulica a valle delle dighe

## Qualche osservazione sulla propagazione dell'onda generata dal cedimento di una diga sufficientemente lontano dall'opera

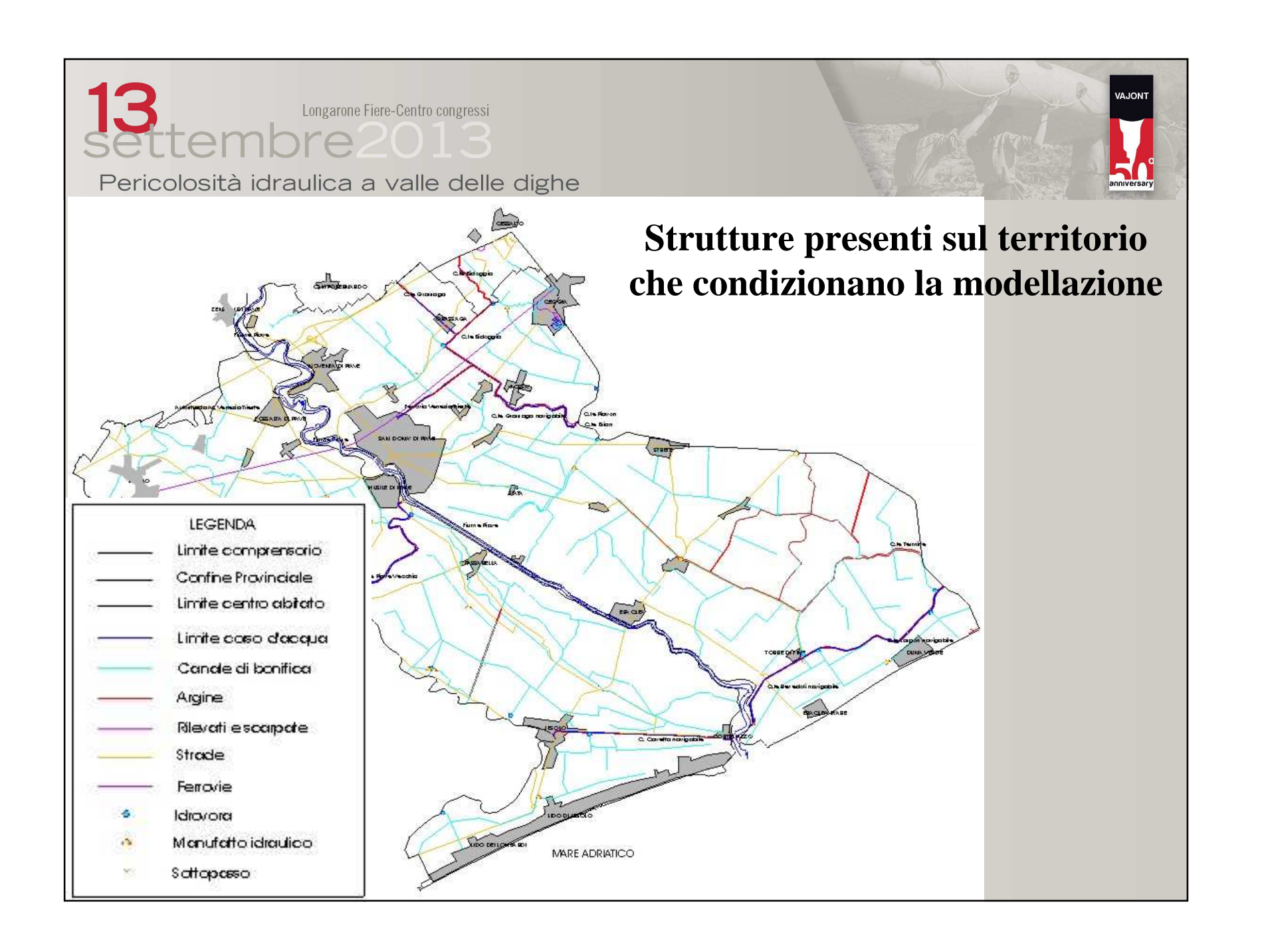
### **Ipotesi:**

- bidimensionalità del moto con distribuzione idrostatica delle pressioni lungo la verticale
- distribuzione uniforme delle velocità lungo la verticale
- inerodibilità del fondo

### applicate a:

• una corretta descrizione della geometria del campo di moto delle aree destinate ad allagarsi, generalmente caratterizzate dalla presenza di strutture idrauliche e non che condizionano la propagazione con effetti che non possono essere simulati adottando, come spesso accade, la classica formulazione delle equazioni di De Saint Venant, le quali si fondano su assunzioni che non sono sempre verificate

PER PERSEGUIRE UNA EFFICACE SOLUZIONE DEI PROBLEMI DI UN'AREA ESPOSTA AD ALLAGAMENTO E' IRRINUNCIABILE IMPLEMENTARE UNA CORRETTA MODELLAZIONE MATEMATICA DEI FENOMENI FISICI CHE LA COINVOLGONO



# Longarone Fiere-Centro congressi settembre 2013

Pericolosità idraulica a valle delle dighe



Adattamento delle equazioni di *De Saint Venant*, che descrivono la propagazione <u>bidimensionale</u> delle onde lunghe in acque basse, a un dominio di calcolo reale :

$$\left\{
\frac{\partial h}{\partial x} + \frac{1}{g} \frac{du}{dt} + \frac{q_x | q}{K_s^2 H^{10/3}} - \frac{\tau_{wx}}{\gamma Y} - \operatorname{Re}_x - f \frac{v}{g} = 0
\right\}$$

$$\frac{\partial h}{\partial y} + \frac{1}{g} \frac{dv}{dt} + \frac{q_y | q}{K_s^2 H^{10/3}} - \frac{\tau_{wy}}{\gamma Y} - \operatorname{Re}_y + f \frac{u}{g} = 0$$

$$\frac{\partial h}{\partial t} + \frac{\partial q_x}{\partial x} + \frac{\partial q_y}{\partial y} = 0$$

- h: livello idrometrico:
- *Y*: volume d'acqua per unità di superficie ;
- H: profondità d'acqua equivalente;
- U=(u, v): velocità mediata in fase;
- $\mathbf{q} = (q_y, q_y)$ : velocità mediata in fase integrata sulla verticale;
- *K*<sub>s</sub>: coefficiente di scabrezza secondo Strickler;
- Re: termini di Reynolds;
- f=2ωsenφ : parametro di Coriolis
- •η: porzione di area bagnata per unità di superficie.
- H e η permettono di descrivere gli effetti delle irregolarità del terreno a una scala inferiore di quella delle dimensioni caratteristiche delle singole maglie del reticolo di calcolo e di risolvere in maniera efficace il problema della transizione asciutto-bagnato

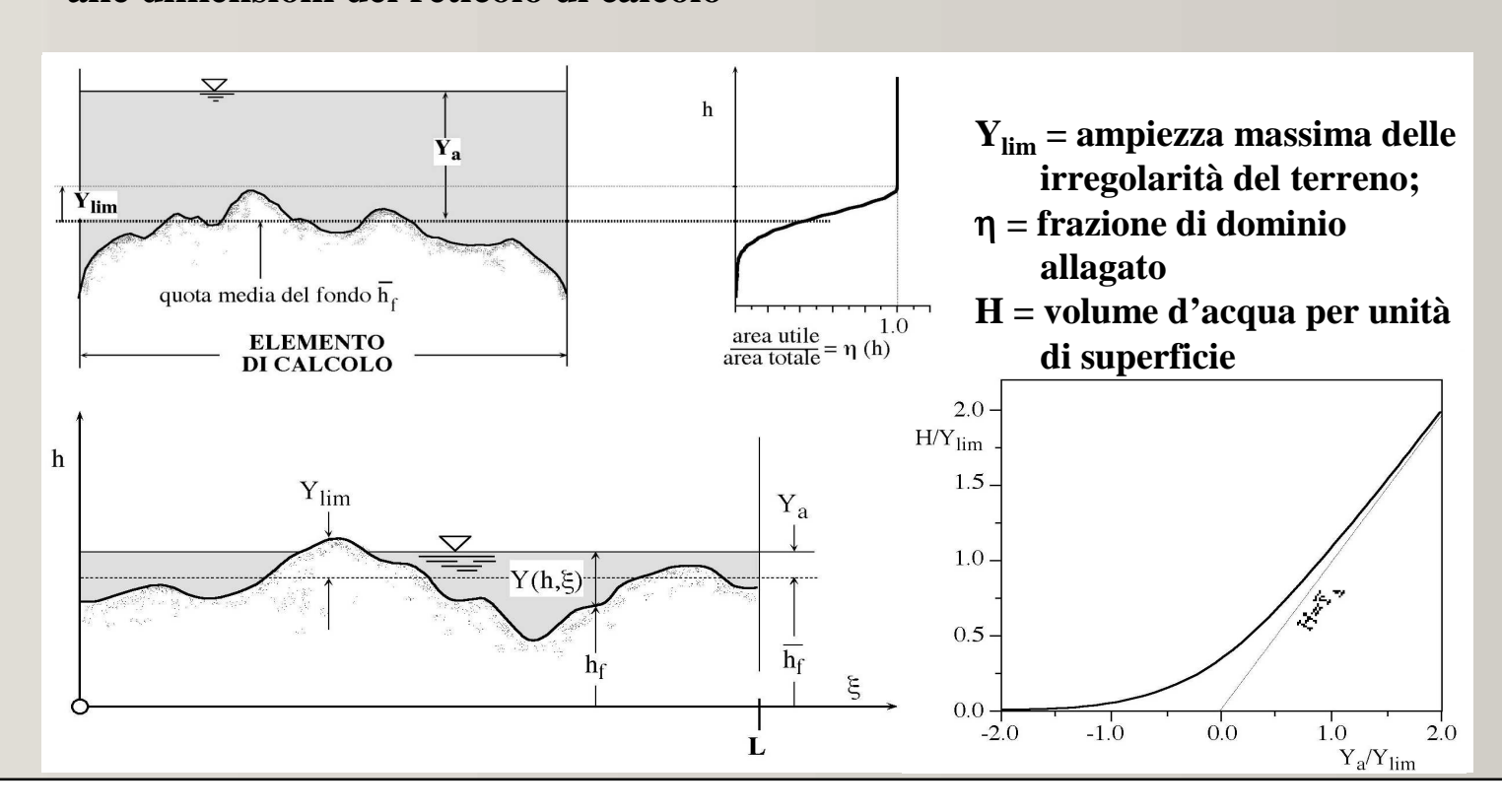
# Longarone Fiere-Centro congressi settembre 2013

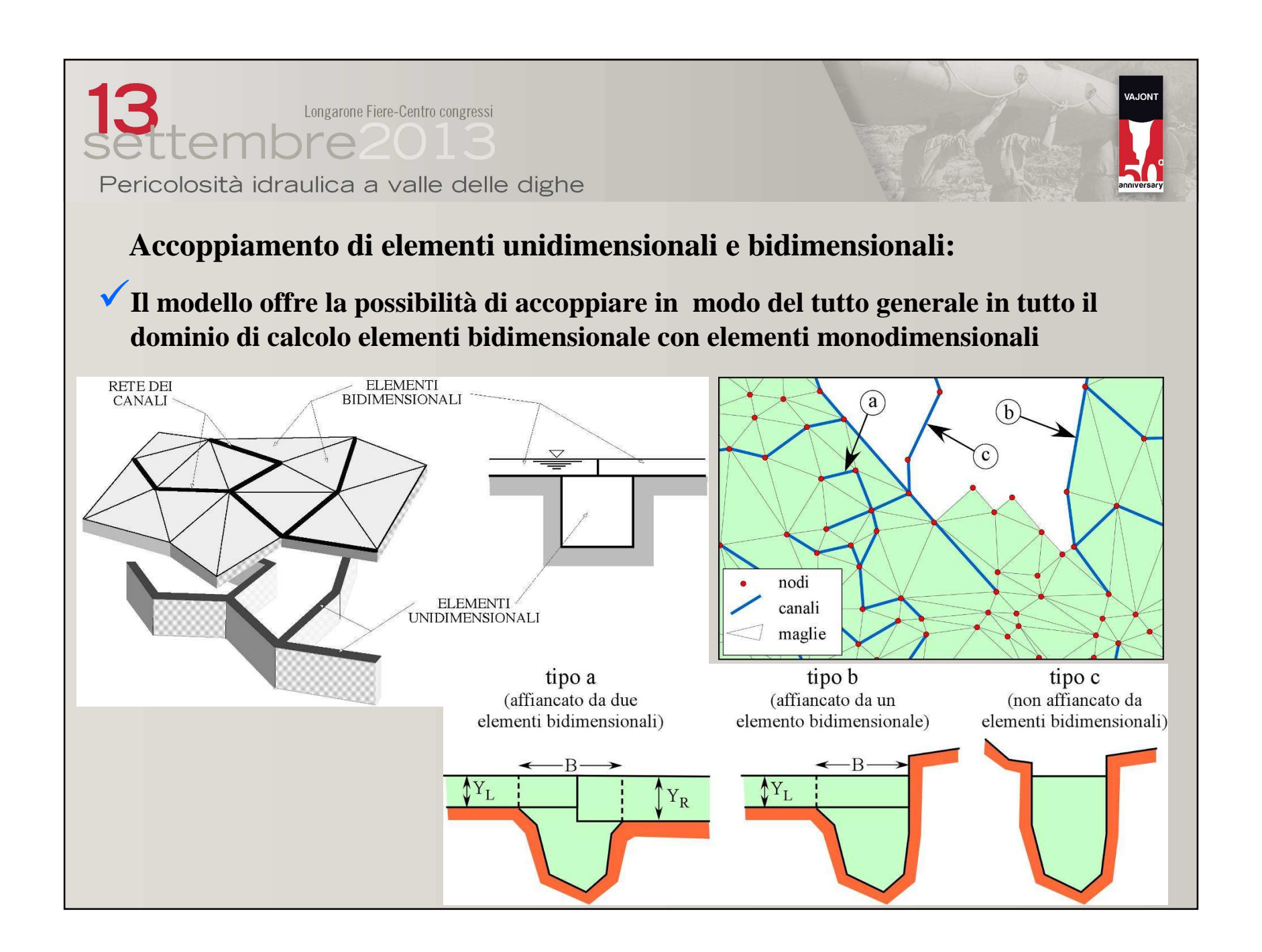


Pericolosità idraulica a valle delle dighe

#### La transizione asciutto- bagnato è risolta nel modello attraverso:

✓ l'introduzione di un modello di sottogriglia di tipo concettuale, fisicamente basato, per tener conto dei fenomeni con lunghezza-scala caratteristica inferiore alle dimensioni del reticolo di calcolo





# Longarone Fiere-Centro congressi Settembre 2013 Pericolosità idraulica a valle delle dighe



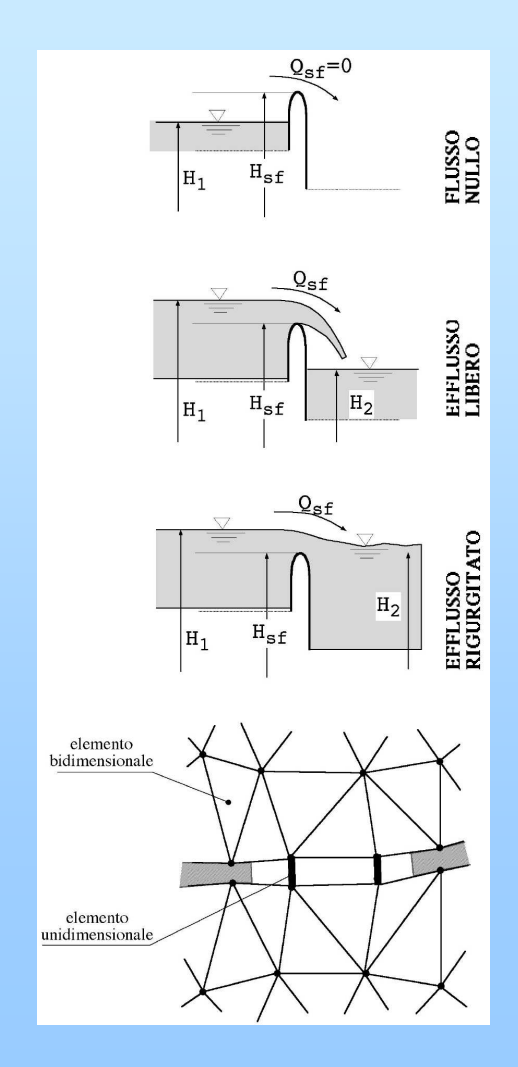
## Accoppiamento degli elementi del modello a "tronchi speciali"

Il modello idrodinamico consente una modellazione efficace e accurata di tutte le strutture idrauliche che generalmente si incontrano e che influenzano la propagazione della corrente, come:

- soglie di sfioro, argini e terrapieni stradali e ferroviari,
- paratoie a efflusso libero e rigurgitato,
- impianti idrovori,
- porte vinciane,
- ponti in attraversamento,
- tronchi in pressione, ecc.
- aree urbanizzate, ecc.

#### **SOGLIE E TRAVERSE**

Si considera una "traversa alta" in cui si trascurano, cioè, i carichi cinetici a monte e a valle



• se 
$$H_1 < H_{sf} e H_2 < H_{sf}$$
  $\longrightarrow$   $a_1 = \alpha; a_2 = 0; a_3 = 0$ 

Il funzionamento è regolato dal confronto tra le energie della corrente a monte e a valle della traversa. Se l'energia di valle è superiore all'energia minima per superare l'ostacolo allora l'<u>efflusso</u> sarà <u>rigurgitato</u> altrimenti si ha <u>efflusso libero</u>.

$$Q = C_q \cdot B \cdot \sqrt{2g(H_1 - H_{sf})} \cdot (H_1 - H_{sf})$$

$$B = \text{larghezza soglia}$$

$$C_q = \text{coeff. di portata}$$

Calcolata l'energia totale di monte *E*:

$$E = H_2 + \frac{Q^2}{2g \cdot B^2 \cdot (H_1 - H_{sf})^2} = H_2 + C_q^2 (H_1 - H_{sf})$$

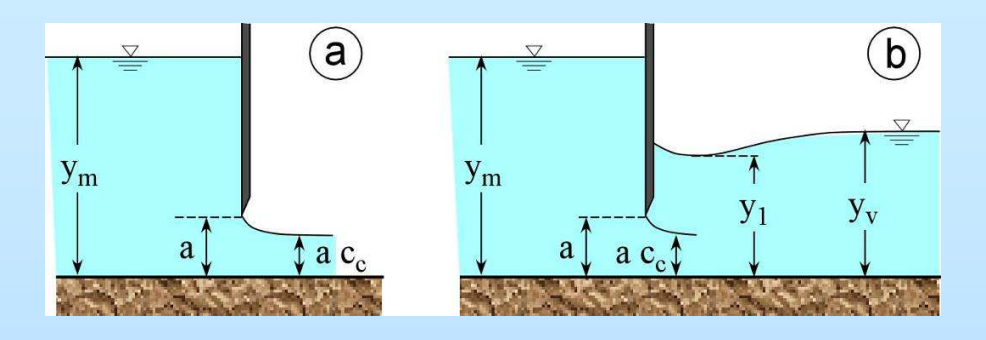
• se 
$$H_I < E$$
 posto  $\alpha = \frac{2g \cdot B^2 \cdot (H_1 - H_{sf})^2}{|Q|}$  Efflusso Rigurgitato

$$H_1 - Q/\alpha = H_2$$
 
$$\longrightarrow a_1 = \alpha; \quad a_2 = -\alpha; \quad a_3 = 0$$

• se 
$$H_I > E$$
 posto  $\alpha = C_q \cdot B \cdot \sqrt{2g \cdot (H_1 - H_{sf})}$  Efflusso Libero

$$Q = \alpha \cdot (H_1 - H_{sf}) \longrightarrow a_1 = \alpha; \quad a_2 = 0; \quad a_3 = -\alpha \cdot H_{sf}$$

#### PARATOIE A EFFLUSSO LIBERO E RIGURGITATO

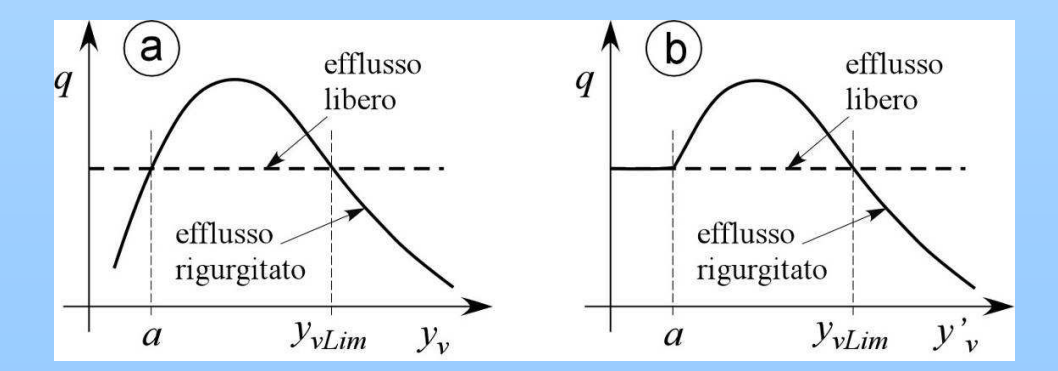


#### (a) Efflusso libero:

$$q_L = C_{qL} \ a \sqrt{2g \ y_m}$$
 con  $C_{qL} = c_c (1 + a c_c / y_m)^{-1/2}$ 

#### (b) Efflusso rigurgitato:

$$q_{R} = C_{qR} \ a \sqrt{2g(y_{m} - y_{v})} \quad \text{con} \quad C_{qR} = \left[ 2\frac{a}{y_{v}} \left( \frac{a}{y_{v}} - \frac{1}{c_{c}} \right) + \frac{1}{c_{c}^{2}} - \frac{a^{2}}{y_{m}^{2}} \right]^{-1/2}$$



se introduciamo

$$y'_{v} = max\{y_{v}, a\}$$

si ha che

$$q = \min\{q_R, q_L\}$$

#### PARATOIE CHE CONTROLLANO IL LIVELLO

- se  $H_2 > H_1$ <u>la paratoia viene chiusa</u>  $\longrightarrow$   $a_1 = 0; a_2 = 0; a_3 = 0$

$$a_1 = 0;$$
  $a_2 = 0;$   $a_3 = 0$ 

• se  $H_2 < H_1$ 

$$Q = aper \cdot C_q \cdot B \cdot \sqrt{2g(H_1 - H_2)}$$
 con  $aper =$  apertura della paratoia

con riferimento al passo di calcolo precedente

$$\cos t = (C_q \cdot B)^2 \cdot 2g / |Q|$$

$$aper = Q/\left(C_q \cdot B \cdot \sqrt{(2g \cdot (h_{mon} - H_2))}\right)$$

$$aper = Q / \left( C_q \cdot B \cdot \sqrt{(2g \cdot (h_{mon} - H_2))} \right) \\ \begin{cases} \text{se } H_2 > h_{mon} \ aper = a_{max} \\ \text{se } aper > a_{max} \ allora \ aper = a_{max} \\ \text{se } H_1 < h_{fon} + \ aper \ allora \ aper > a_{max} \ per \ annullare \ le \ perdite \ di \ carico \end{cases}$$



$$a_1 = \cos t \cdot aper^2$$
;  $a_2 = -\cos t \cdot aper^2$ ;  $a_3 = 0$ 

#### PARATOIE CHE REGOLANO LA PORTATA

$$Q = aper \cdot C_q \cdot B \cdot \sqrt{2g(H_1 - H_2)}$$
 con  $aper$  = apertura della paratoia

con riferimento al passo di calcolo precedente

$$\cos t = (C_q \cdot B)^2 \cdot 2g / |Q|$$

$$aper = Q/(C_q \cdot B \cdot \sqrt{(2g \cdot (h_{mon} - H_2))})$$

$$aper = Q / \left( C_q \cdot B \cdot \sqrt{(2g \cdot (h_{mon} - H_2))} \right) \\ \begin{cases} \text{se } H_2 > H_1 \ aper = a_{max} \\ \text{se } aper > a_{max} \ allora \ aper = a_{max} \\ \text{se } H_1 \circ H_2 < h_{fon} + aper \ e \ Q < Q_{flu} \ allora \ aper > a_{max} \ per \ annullare \ le \ perdite \ di \ carico \end{cases}$$



$$a_1 = \cos t \cdot aper^2$$
;  $a_2 = -\cos t \cdot aper^2$ ;  $a_3 = 0$ 

#### **IDROVORE**

 Sono trattate dal modello come condizioni al contorno interne descritte nel file della simulazione. Si attivano automaticamente, quando i livelli idrometrici locali superano le quote di attacco previste per le pompe e si disattivano, quando gli stessi livelli scendono al di sotto delle quote di stacco (relativi al passo di calcolo precedente).

#### **DATI**

 $N_1$  = Nodo di monte (da cui viene sottratta la portata);

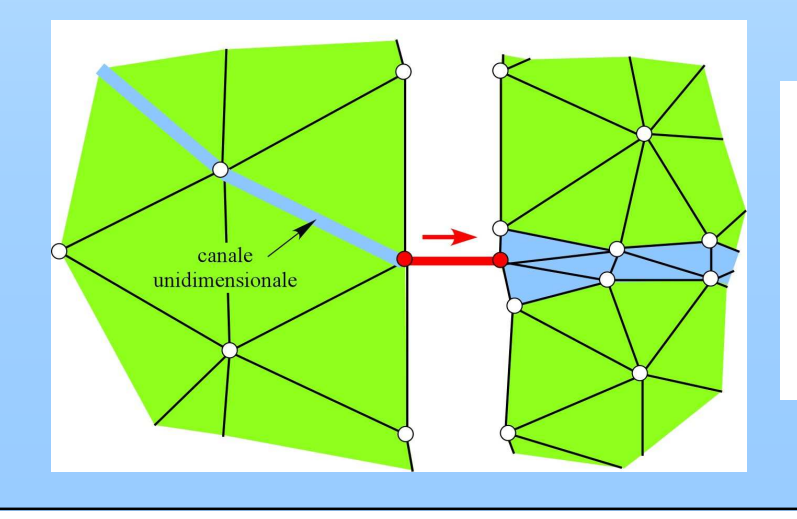
 $N_2$  = Nodo di valle (in cui viene immessa la portata sottratta da  $N_1$ );

 $n^{\circ}$  *Pompe* = numero di pompe che costituiscono l'impianto idrovoro;

*Q Pompe* = portata sollevata da ogni pompa;

 $h_{attacco}$ ,  $h_{stacco}$  = quota di attacco e di stacco di ogni pompa

$$a_1 = 0; \quad a_2 = 0; \quad a_3 = Q_{idr}$$





#### **PORTE VINCIANE**

 Sono trattate dal modello come condizioni al contorno interne.

Si tratta di elementi del reticolo di calcolo per i quali si impone che il flusso possa avvenire in una sola direzione. Possono essere sia elementi bidimensionali (maglie) sia uni-dimensionali (canali 1D). Si attivano in funzione dei livelli idrometrici locali e si disattivano in funzione dei flussi (relativi al passo di calcolo precedente).

Lo schema di funzionamento prevede un innalzamento della quota di fondo dell'elemento in esame qualora i livelli idrometrici calcolati prevedano un flusso opposto al verso prefissato.

#### **DATI**

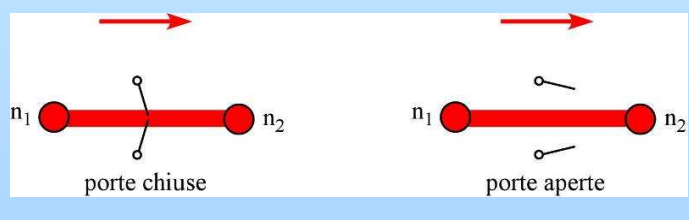
Ele = numero che identifica l'elemento che funge da porta vinciana;

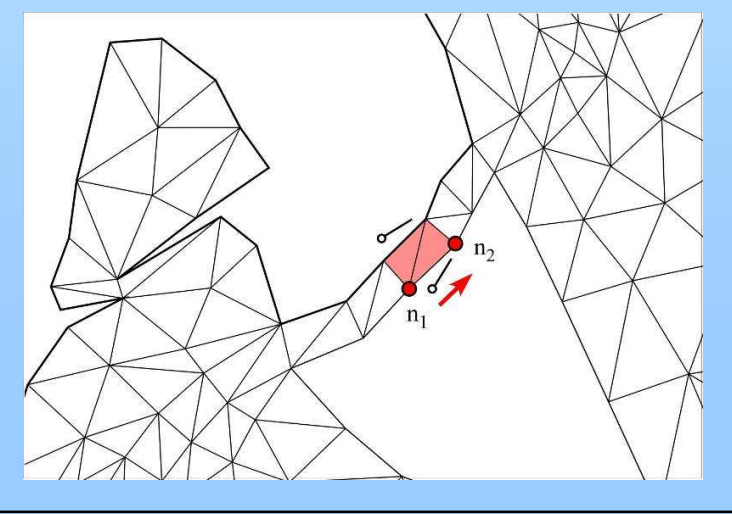
 $N_1 = Nodo di monte nel verso di flusso consentito;$ 

 $N_2$  = Nodo di valle nel verso di flusso consentito (solo se trattasi di maglia, se canale 1D il secondo nodo è univocamente determinato, inserire 0);

 $h_{f,close}$  = quota del fondo cui porre l'elemento qualora la porta vinciana risulti chiusa.







#### **MAGLIE PILA**

La presenza in alveo (o fuori alveo) di ostacoli emergenti (e.g. PILE), determina una resistenza al moto addizionale. Qualora il grado di raffinatezza della griglia di calcolo non sia sufficiente a descrivere adequatamente il campo di moto turbolento (scia vorticosa) che si sviluppa a tergo dell'ostacolo, il modello prevede la possibilità di introdurre una resistenza addizionale S corrispondente a quella offerta dall'ostacolo stesso. [n.b. **S** può essere concentrata in una maglia o ripartita fra più maglie]

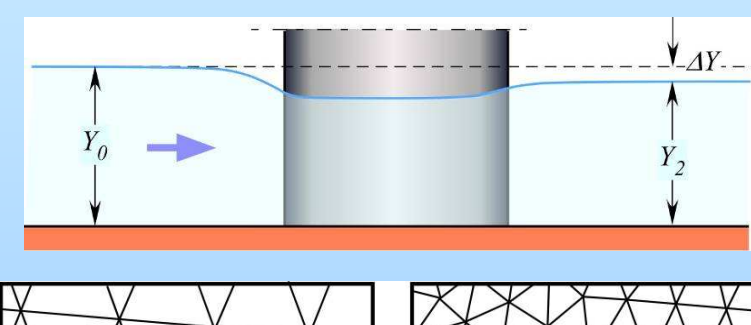
La resistenza **S** offerta dall'ostacolo, è ripartita equamente tra le n<sub>n</sub> maglie interessate dall'ostacolo stesso. Il contributo relativo a ciascuna è diviso per la sua area ottenendo così uno sforzo tangenziale addizionale  $\tau_n$  che viene sommato  $\tau_h$  al fondo

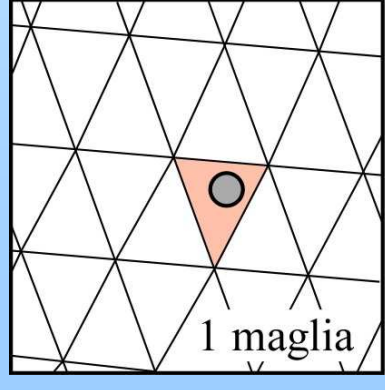
$$\boldsymbol{\tau}_{p} = \frac{S}{n_{p} A_{e}}$$

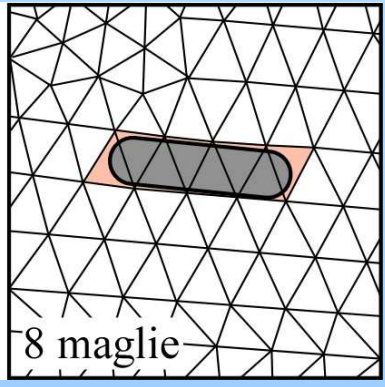
$$\tau_p = \frac{S}{n_p A_e}$$

$$S = \rho C_D (d_p Y) \frac{q^2}{2Y^2}$$

Il coefficiente di resistenza C<sub>D</sub> dipende sostanzialmente dalla geometria dell'ostacolo e, per le forme più semplici, può essere reperito nella letteratura tecnico-manualistica (e.g. Yarnell).

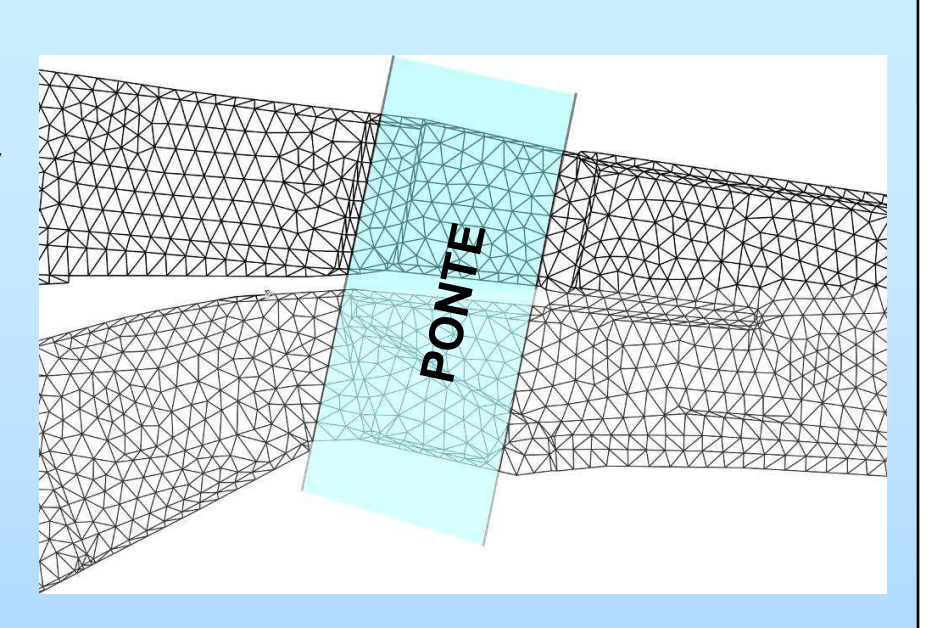






#### **MAGLIE IN PRESSIONE**

Le maglie in pressione servono per descrivere quella parte di dominio bidimensionale nel quale il moto può avvenire in pressione ovvero quando la quota della superficie libera tenderebbe a superare un valore limite corrispondente al cielo della porzione di dominio descritta mediante queste maglie speciali.



Caratterizzate da un parametro addizionale,  $H_c$  che corrisponde alla quota del cielo, le equazioni dinamiche vengono modificate solo quando il livello medio sulla maglia, h tende a superare  $H_c$ . Caratterizzate da un parametro addizionale,  $H_c$  che corrisponde alla quota del cielo, le equazioni dinamiche vengono modificate solo quando il livello medio sulla maglia, h tende a superare  $H_c$ .

Velocità medie:

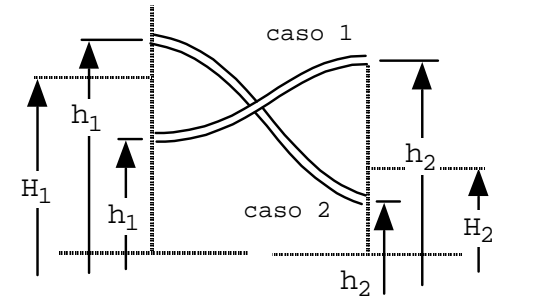
$$U = \frac{q_x}{H_c - z_b} \qquad V = \frac{q_y}{H_c - z_b}$$

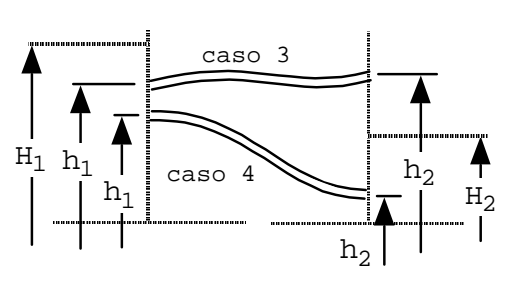
Dissipazione continua di energia J (essendo  $R_H \cong H/2$  con  $H=H_c-z_b$ )

$$J = \frac{\tau_b}{g\rho Y} = 2^{4/3} \left( \frac{|\mathbf{q}|}{k_S^2 H^{10/3}} \right) \mathbf{q}$$

#### **CONDOTTE IN PRESSIONE**

Tubazione a sezione circolare che viene fatta lavorare sempre in pressione (in entrambi i versi).





DATI

 $H_1$ ,  $H_2$  = quote piezometriche dei nodi estremi

 $h_1$ ,  $h_2$  = quote geodetiche delle sezioni estreme del condotto

d = diametro condotto

L = Lunghezza condotto

 $K_{\rm s} = {\rm coeff.}$  di Strickler.

• caso 1  $(H_1 < h_2)$  e caso 2  $(H_1 < h_1)$ 

non si ha flusso nella tubazione



$$a_1 = 0;$$
  $a_2 = 0;$   $a_3 = 0$ 

caso 3 ( $H_2 < h_2$ ) e caso 4 ( $H_2 > h_2$ ): si ha flusso nella tubazione

posto 
$$\alpha = \frac{|Q| \cdot L}{K_s^2 \cdot (d/4)^{4/3} \cdot A^2}$$

caso 3 (
$$H_2 < h_2$$
)

caso 3 
$$(H_2 < h_2)$$
  $H_1 - \alpha \cdot Q = h_2$ 

$$a_1 = 1/\alpha$$
;  $a_2 = 0$ ;  $a_3 = -h_2/\alpha$ 

caso 4 (
$$H_2 > h_2$$
)

caso 4 
$$(H_2>h_2)$$
  $H_1-\alpha\cdot Q=H_2$ 

$$a_1 = 1/\alpha$$
;  $a_2 = -1/\alpha$ ;  $a_3 = 0$ 

#### **MAGLIE FABBRICATO**

 queste maglie speciali possono essere utilizzate quando la discretizzazione spaziale del dominio non può spingersi fino alla descrizione, ancorché semplificata, dei fabbricati presenti sul territorio

Aspetti da considerare:

- 1) la presenza di edifici riduce l'area destinata all'invaso;
- 2) stima della resistenza offerta, nel complesso, dagli edifici
- 3) allungamento dei percorsi che l'acqua compie nell'attraversamento di un gruppo di edifici

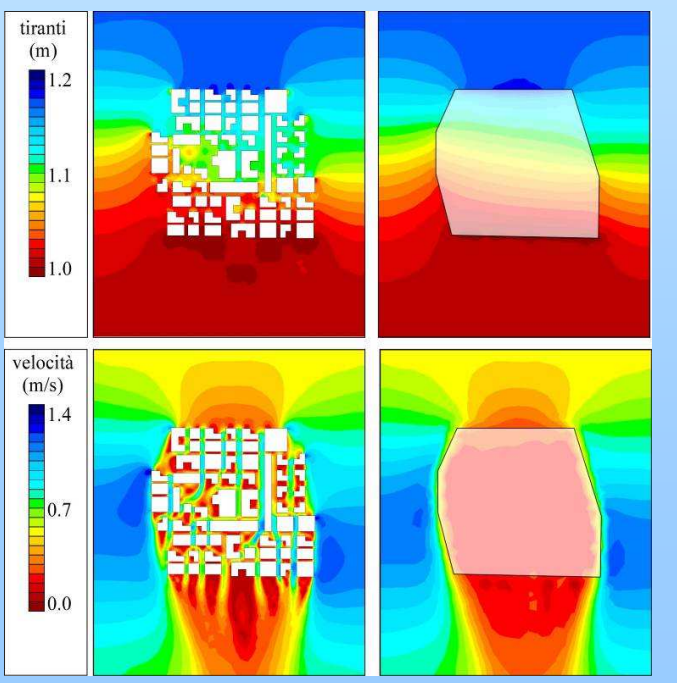
la struttura delle equazioni del modello è formulata in modo da considerare naturalmente, attraverso il parametro η, sia gli effetti di riduzione di superficie di invaso sia quelli indotti sulla dinamica:

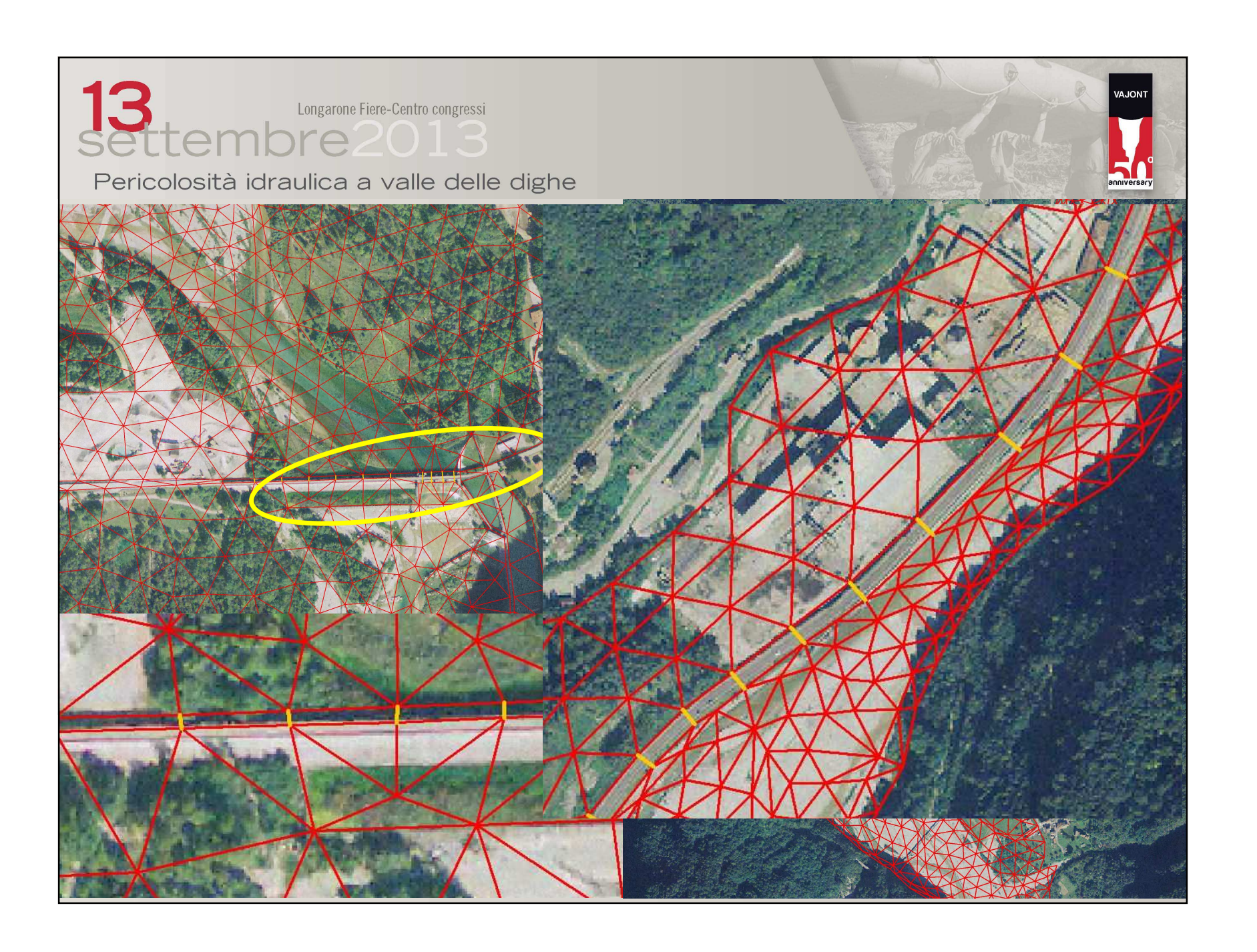
$$\eta = \eta_0 \ (1 - n_{\it fab})$$
 dove  $\eta_{\it fab} = A_{\it fab}/A_{\it e}$ 

$$Y = \frac{Y_0(A_e - A_{fab})}{A_e} = Y_0 (1 - n_{fab})$$

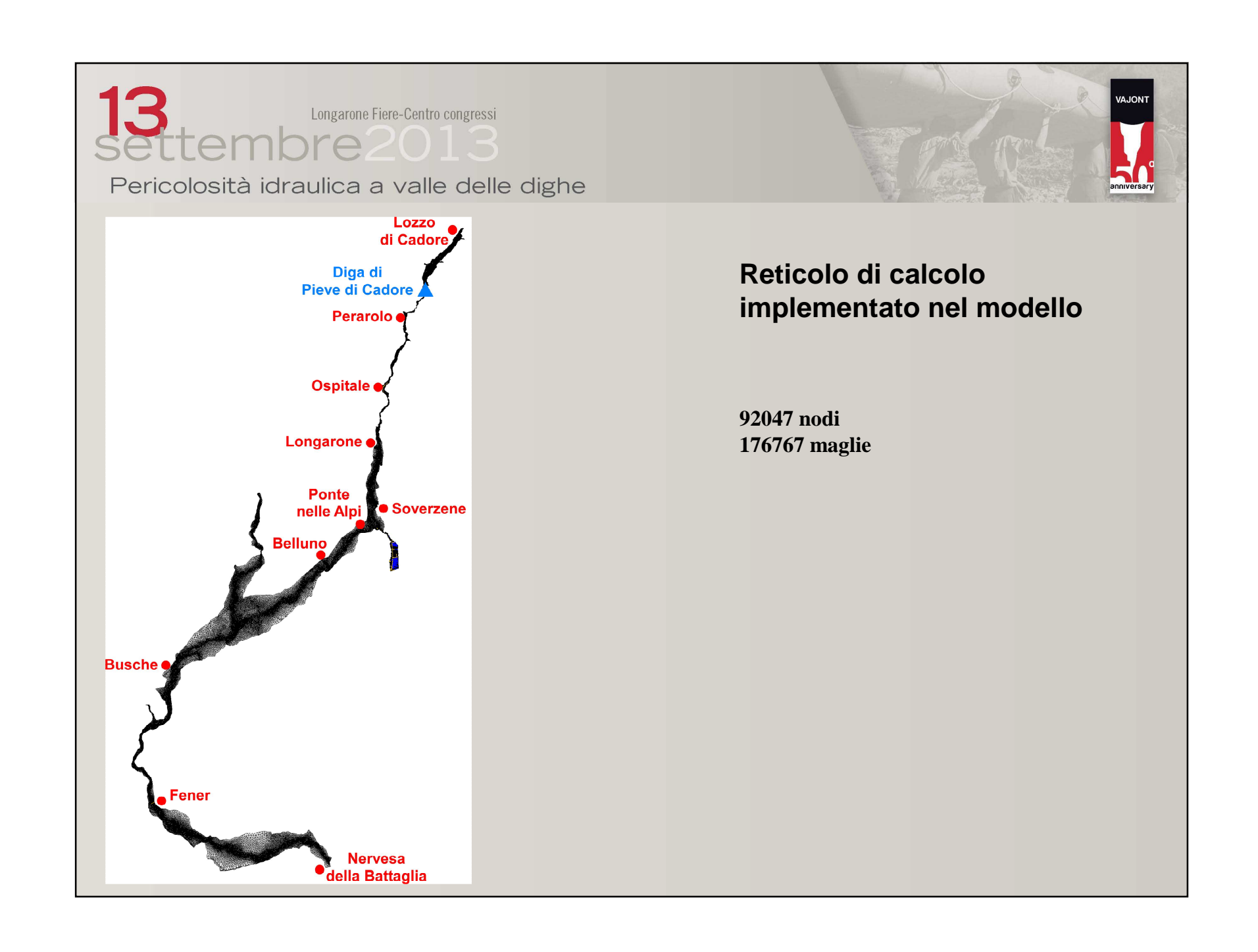
$$H = \frac{H_0(A_e - A_{fab})}{A_e} = H_0 (1 - n_{fab})$$

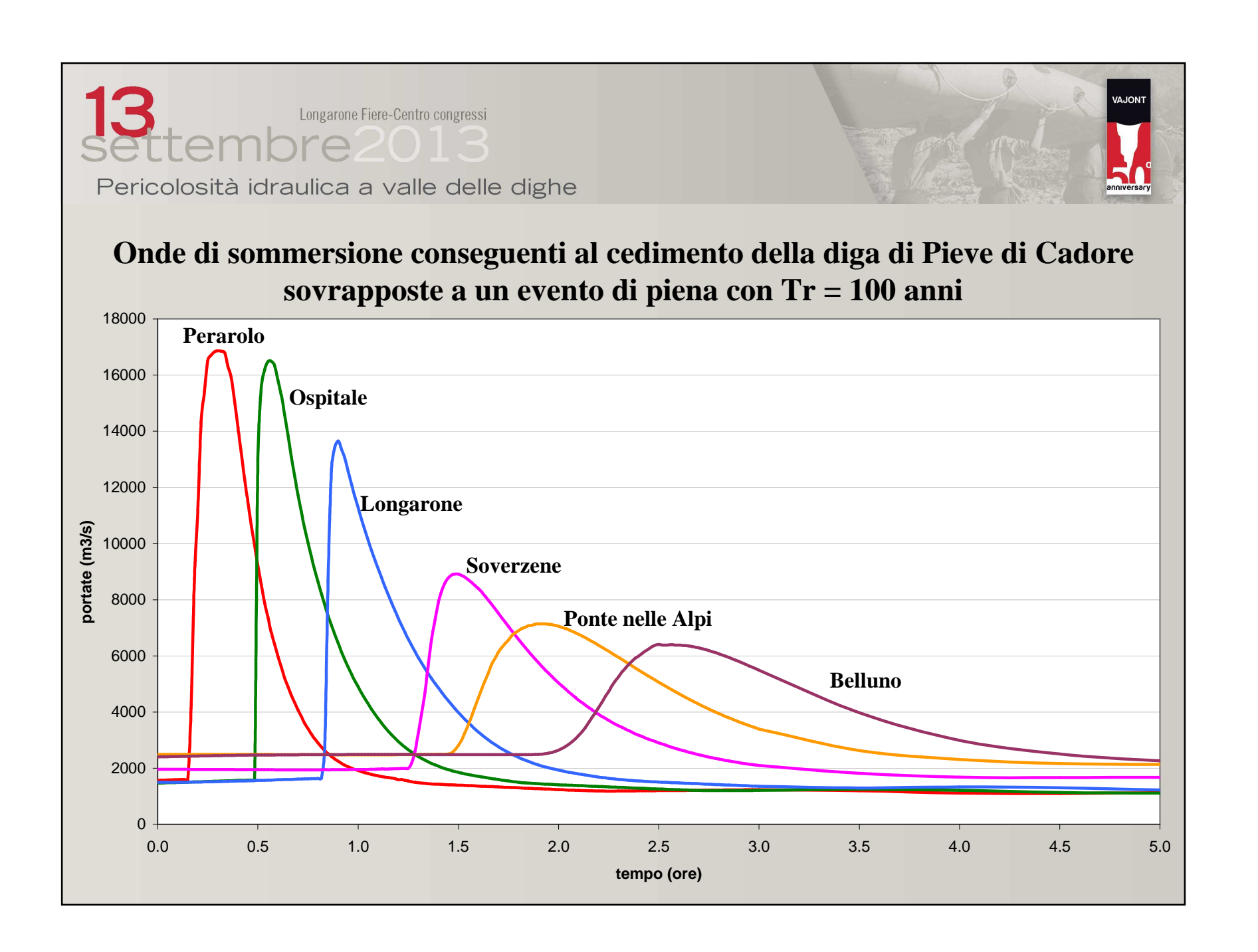
$$\frac{k_{s \ corr}}{k_{s}} = \frac{1}{\sqrt{L_{fab}}}$$

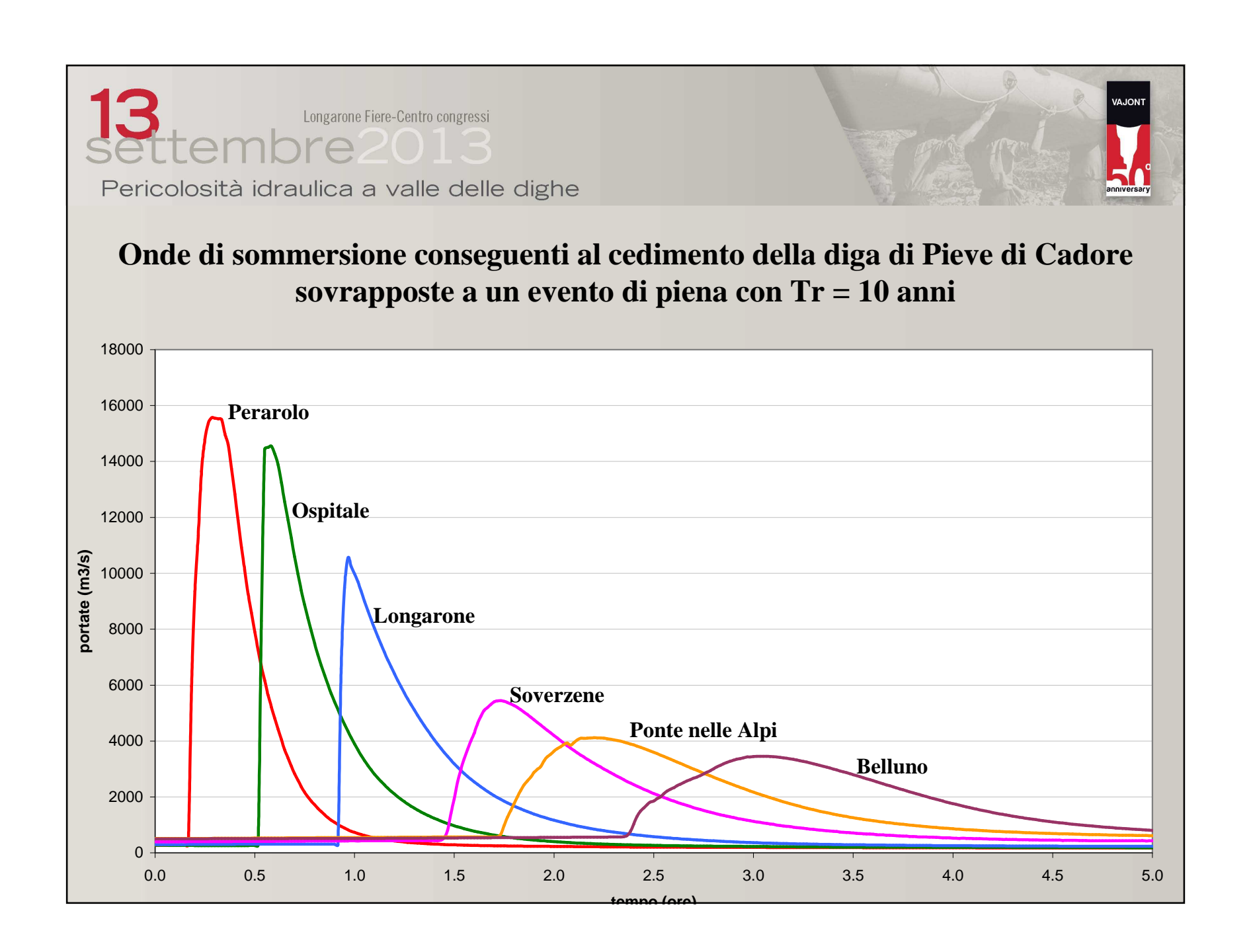


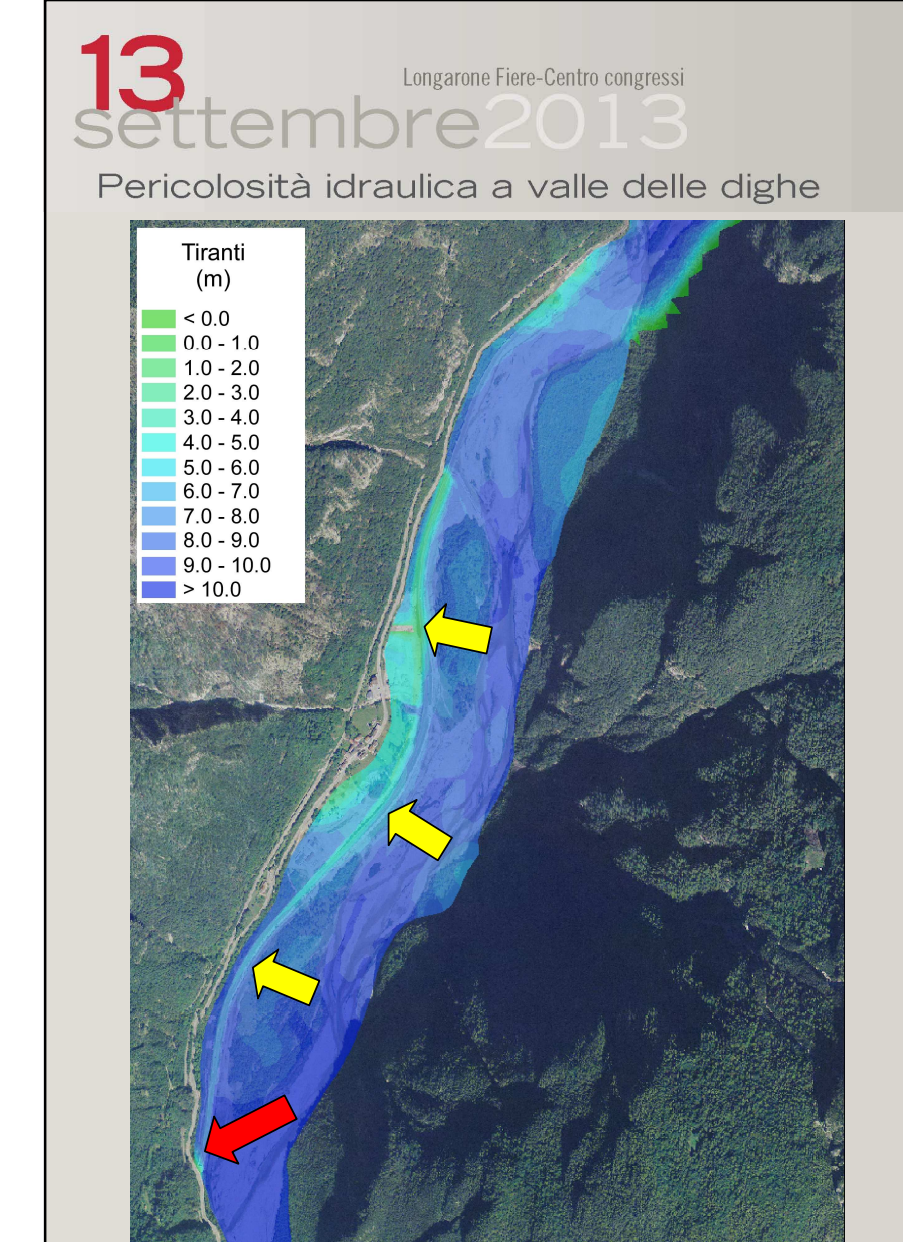












# VAJONT

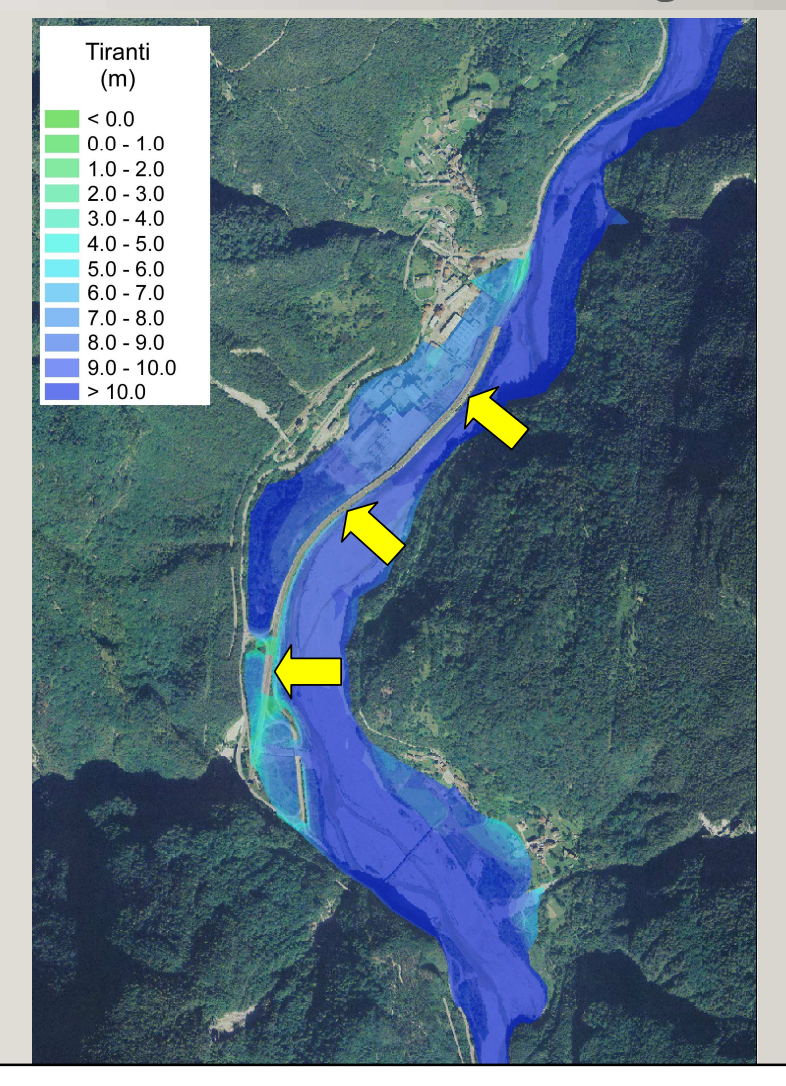
## Inviluppo dei tiranti massimi

Allagamento della variante della S.S. d'Alemagna a monte di Ospitale di Cadore

Fenomeno di cedimento della diga di Pieve di Cadore sovrapposto a un evento di piena con Tr = 100 anni

# Longarone Fiere-Centro congressi Settembre 2013

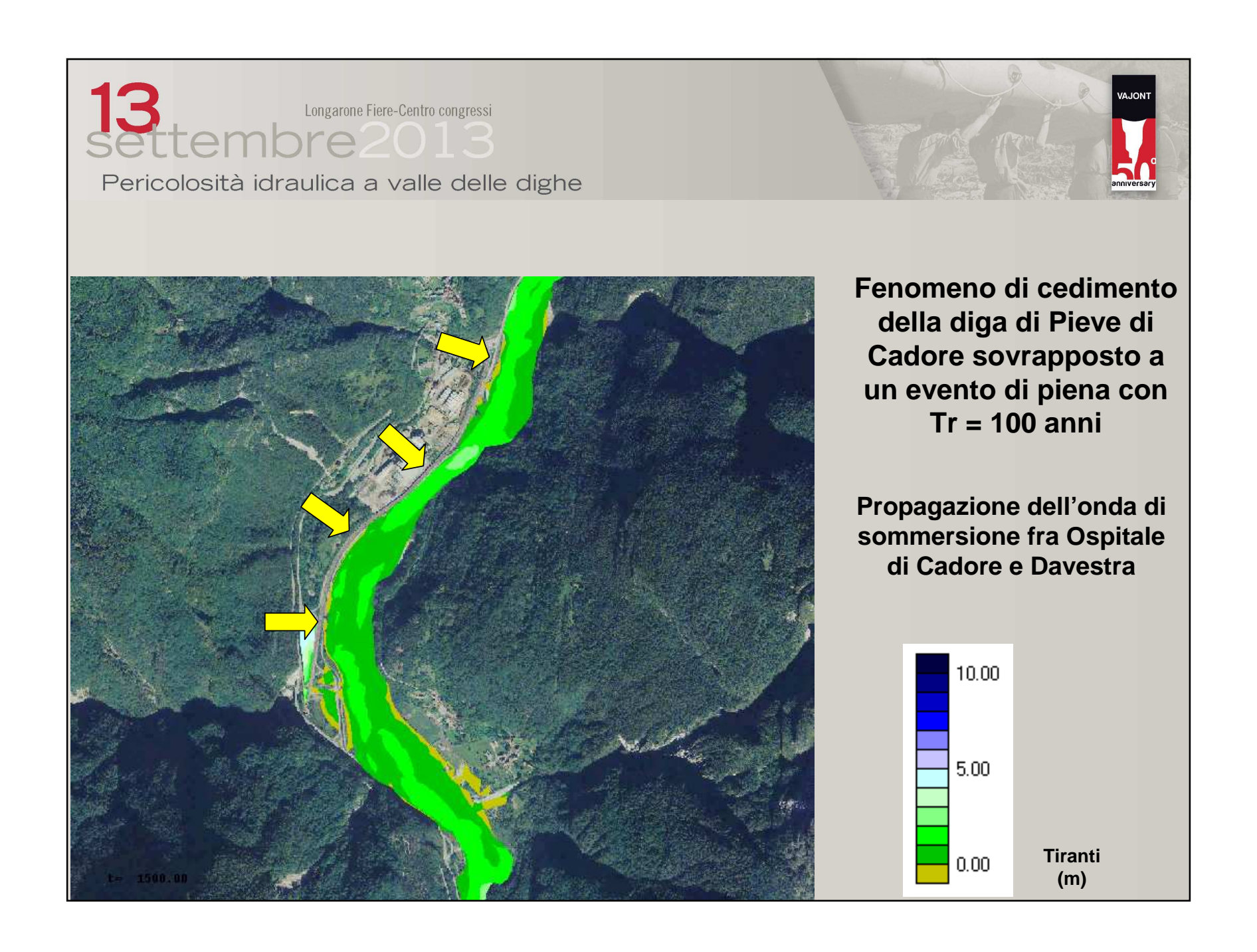
Pericolosità idraulica a valle delle dighe

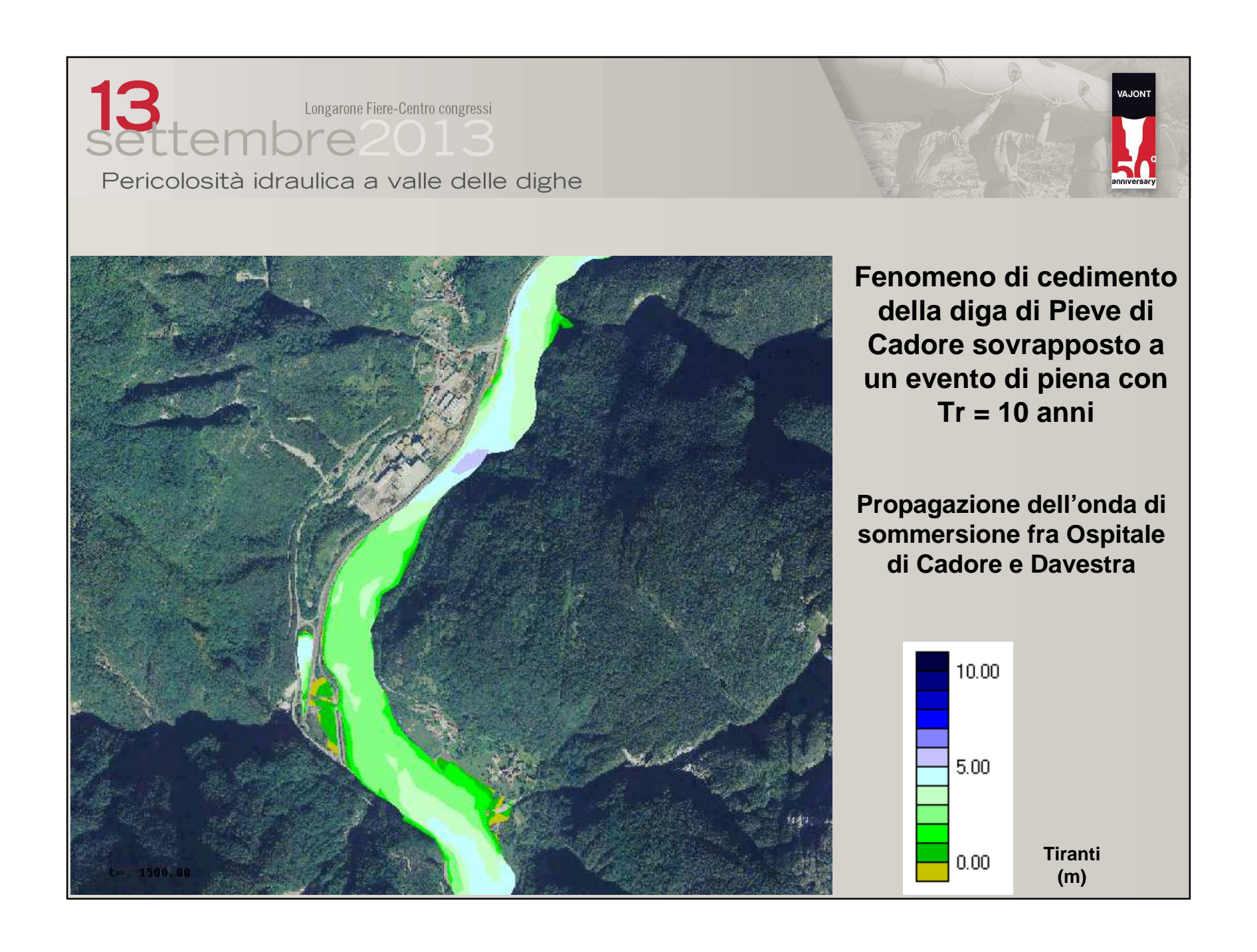


# Inviluppo dei tiranti massimi

Allagamento della variante della S.S. d'Alemagna fra Ospitale di Cadore e Davestra

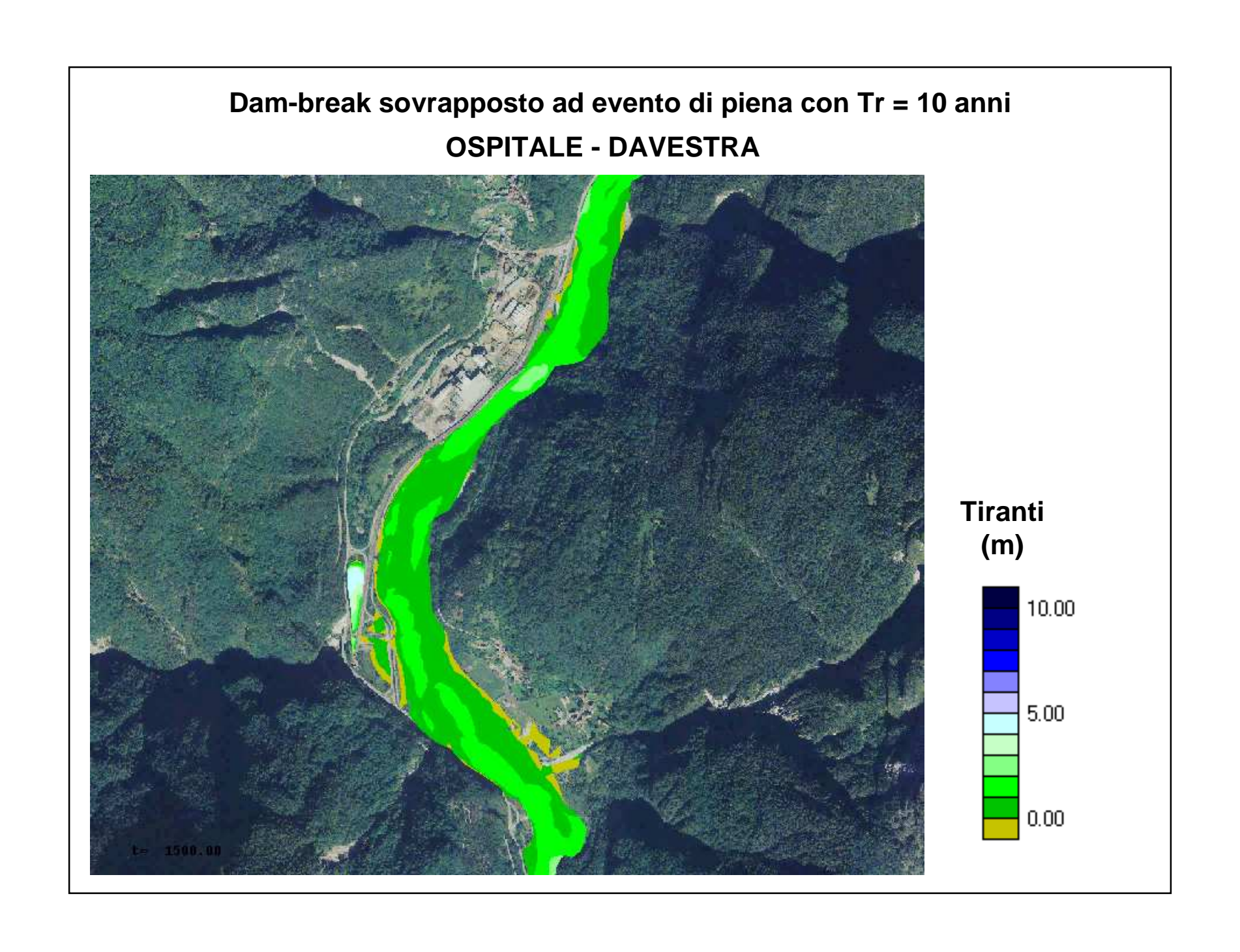
Fenomeno di cedimento della diga di Pieve di Cadore sovrapposto a un evento di piena con Tr = 100 anni

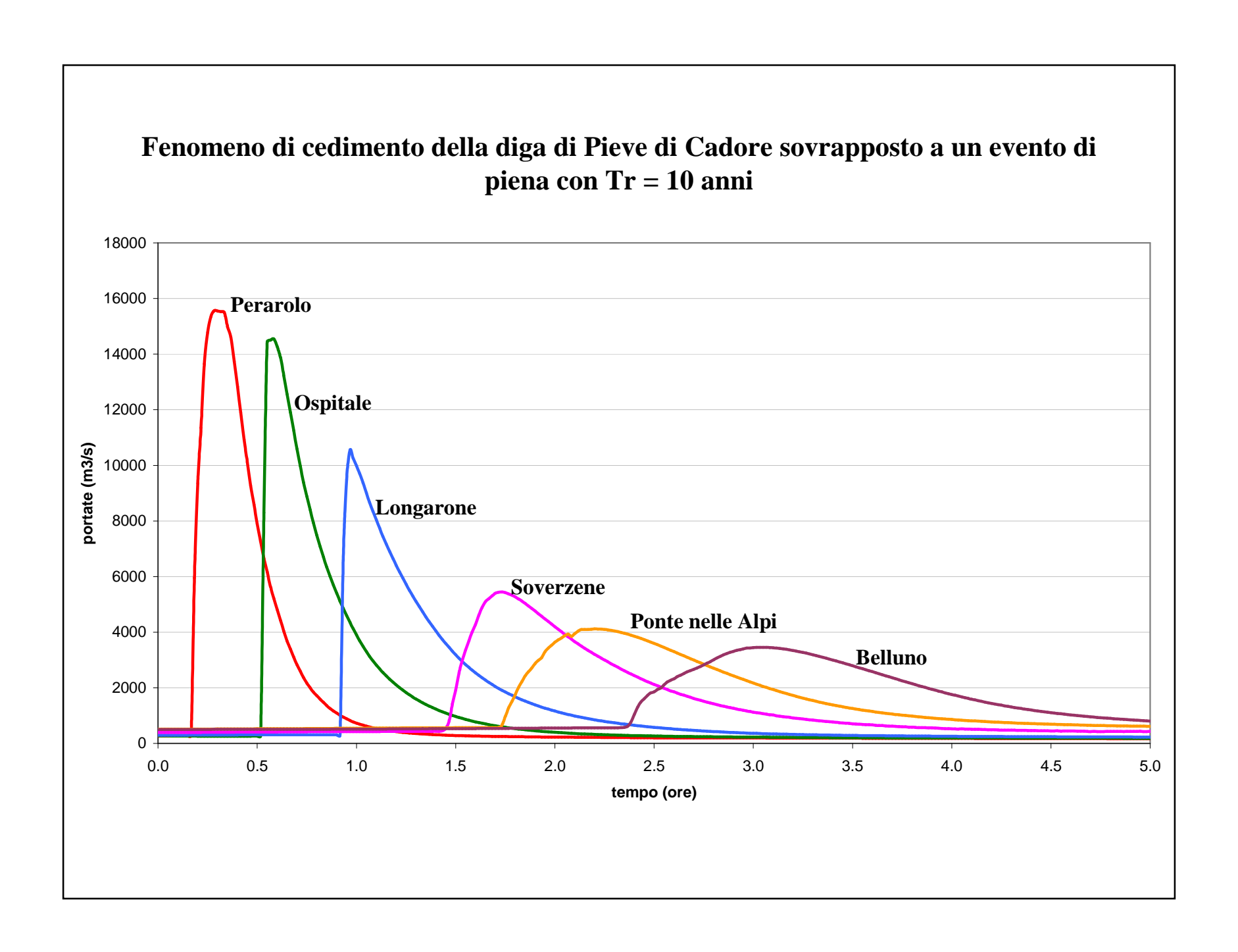


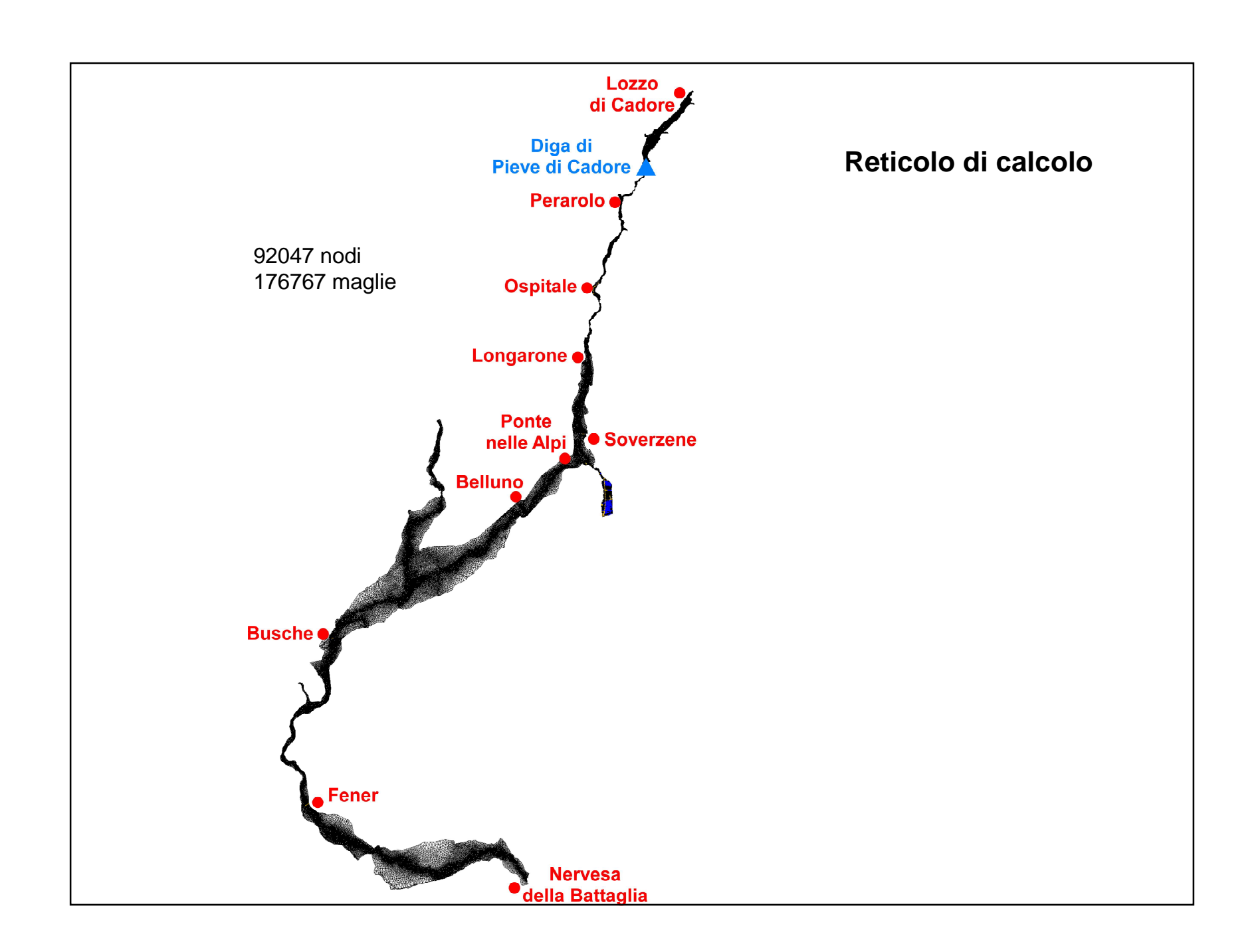


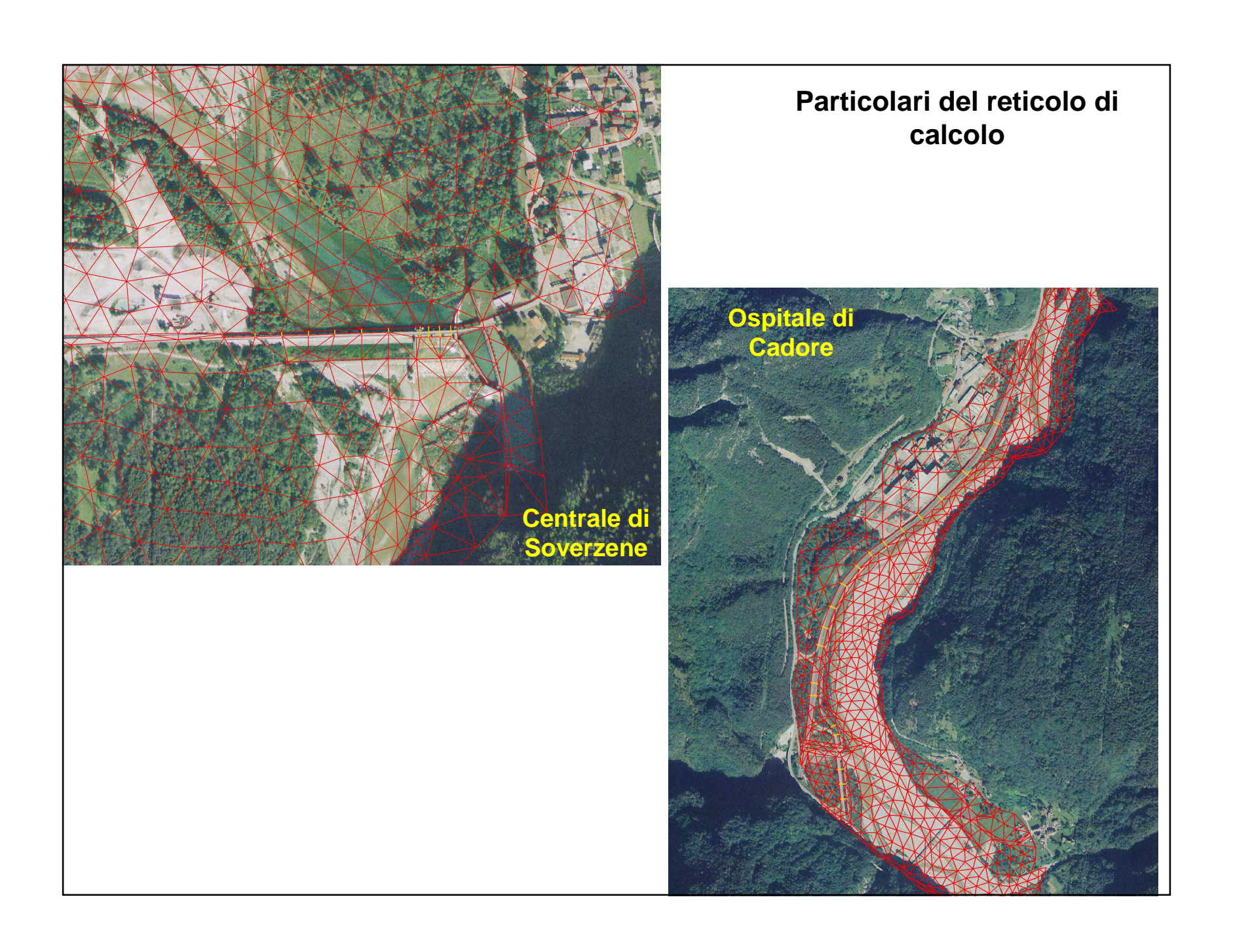


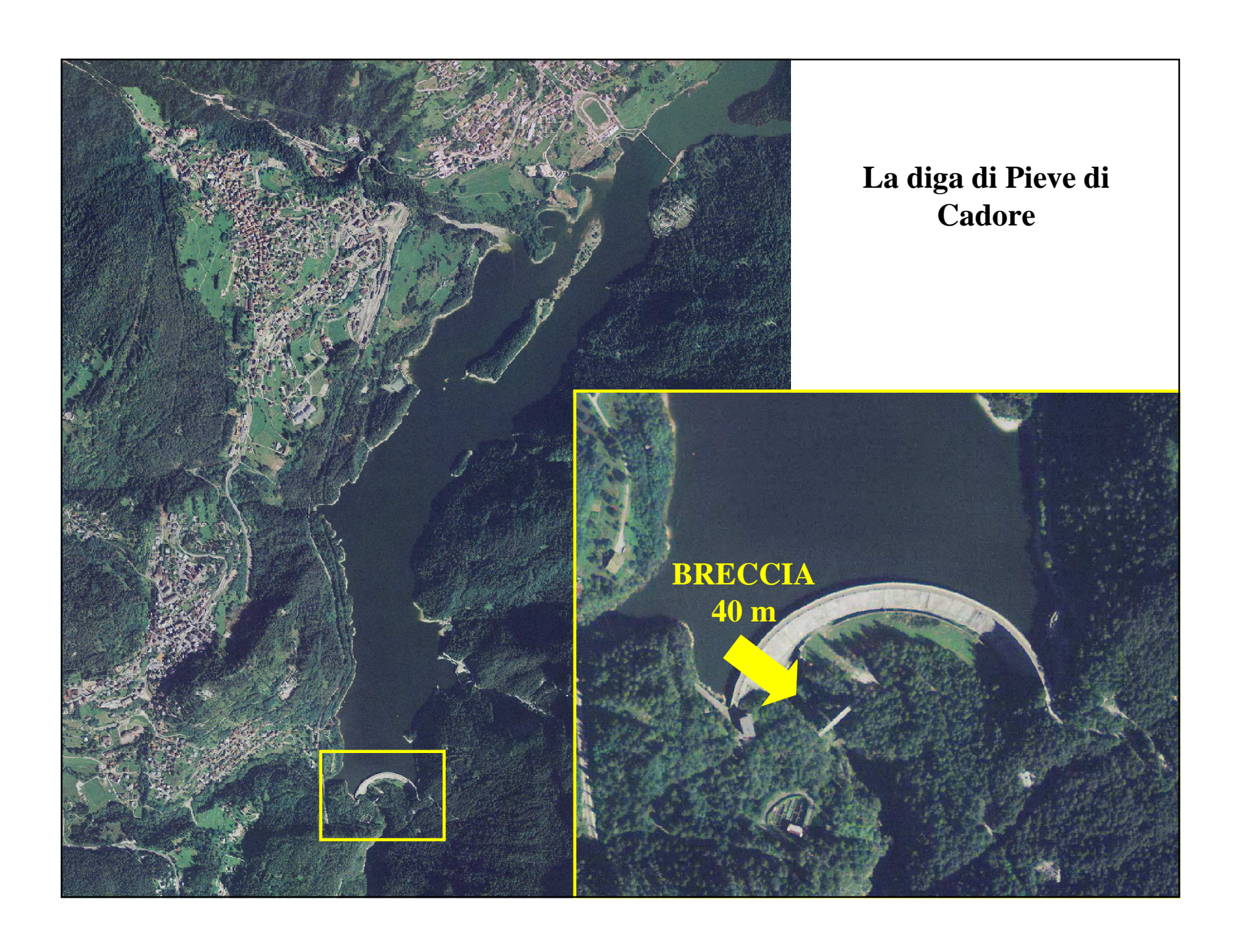
## GRAZIE per la vostra attenzione

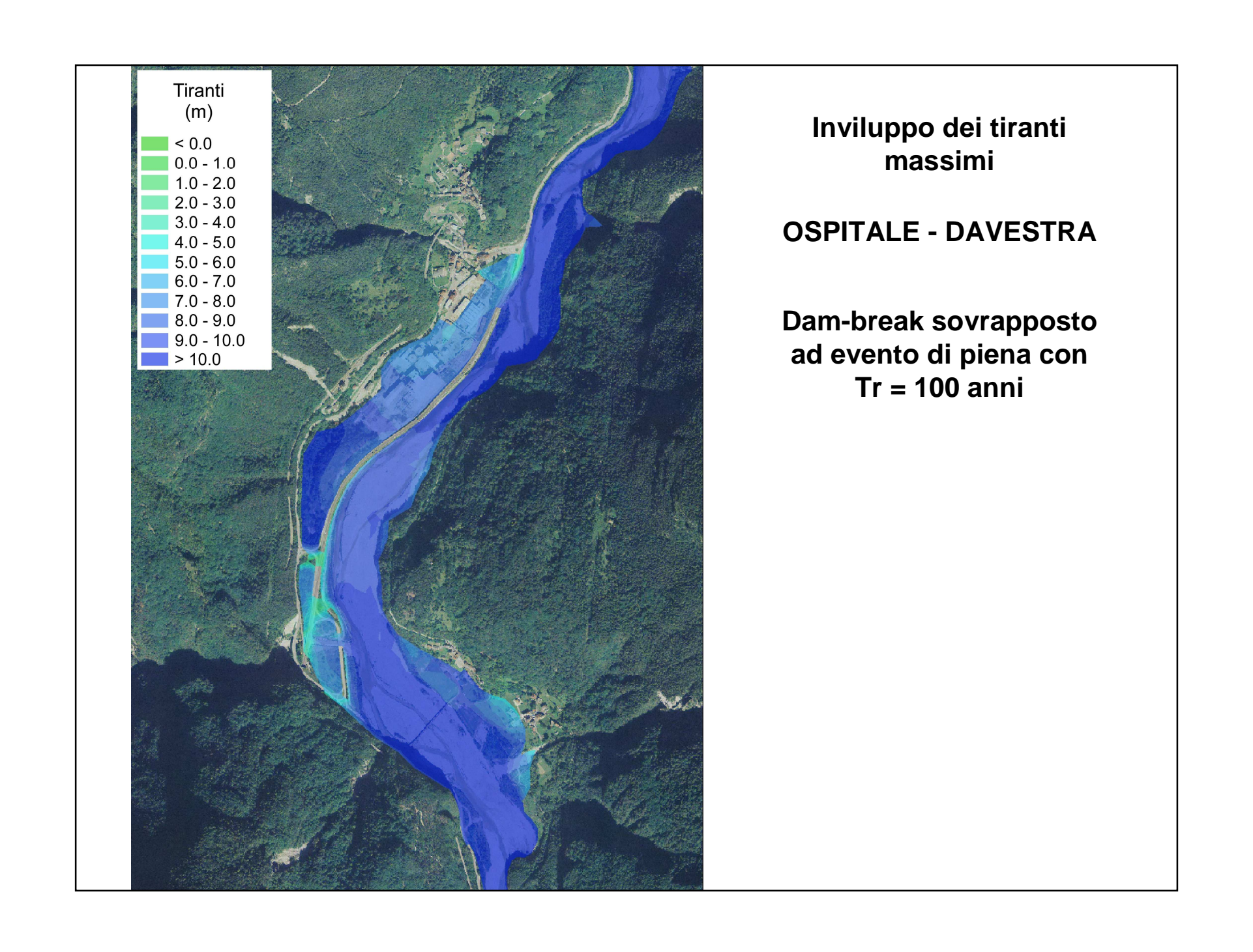


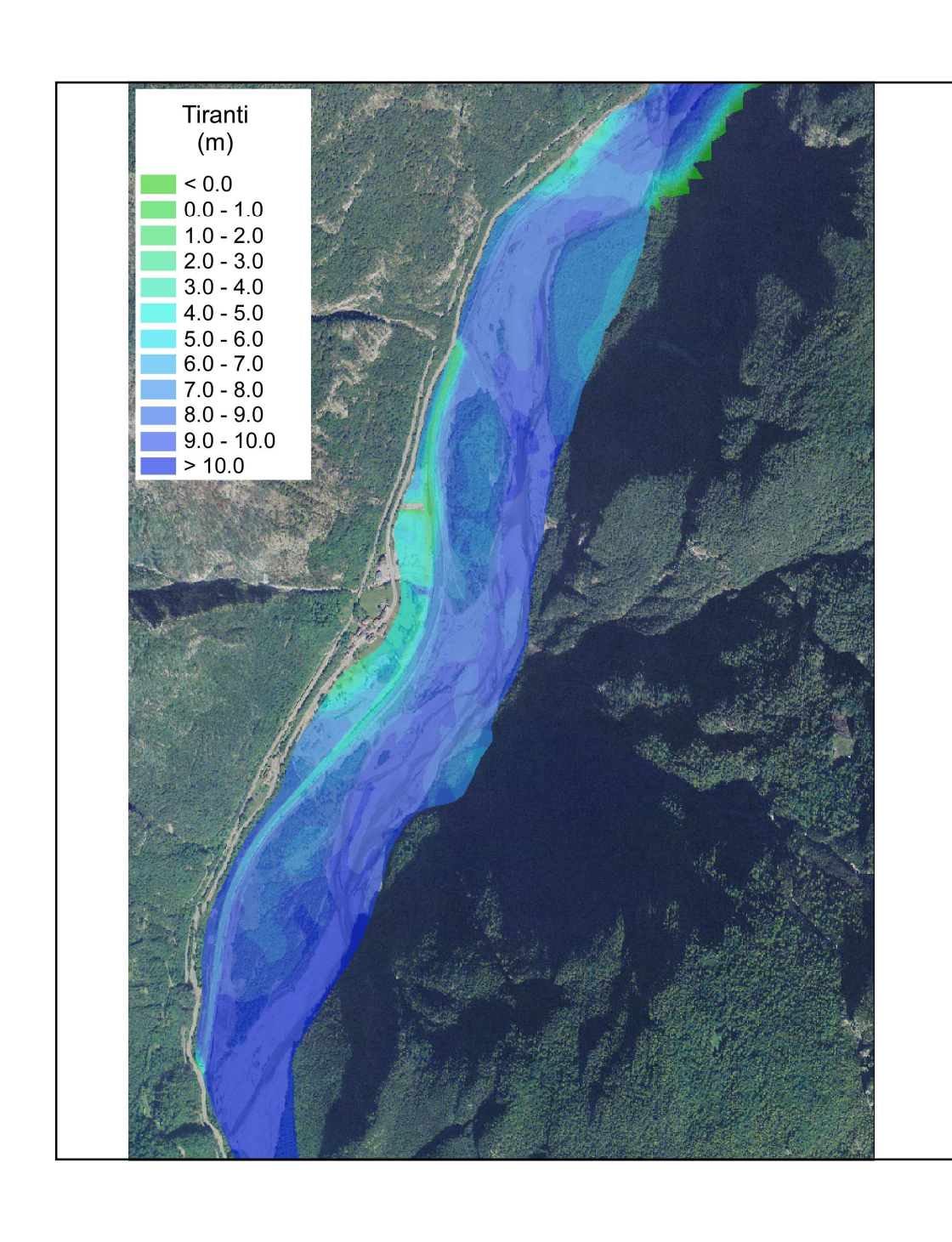








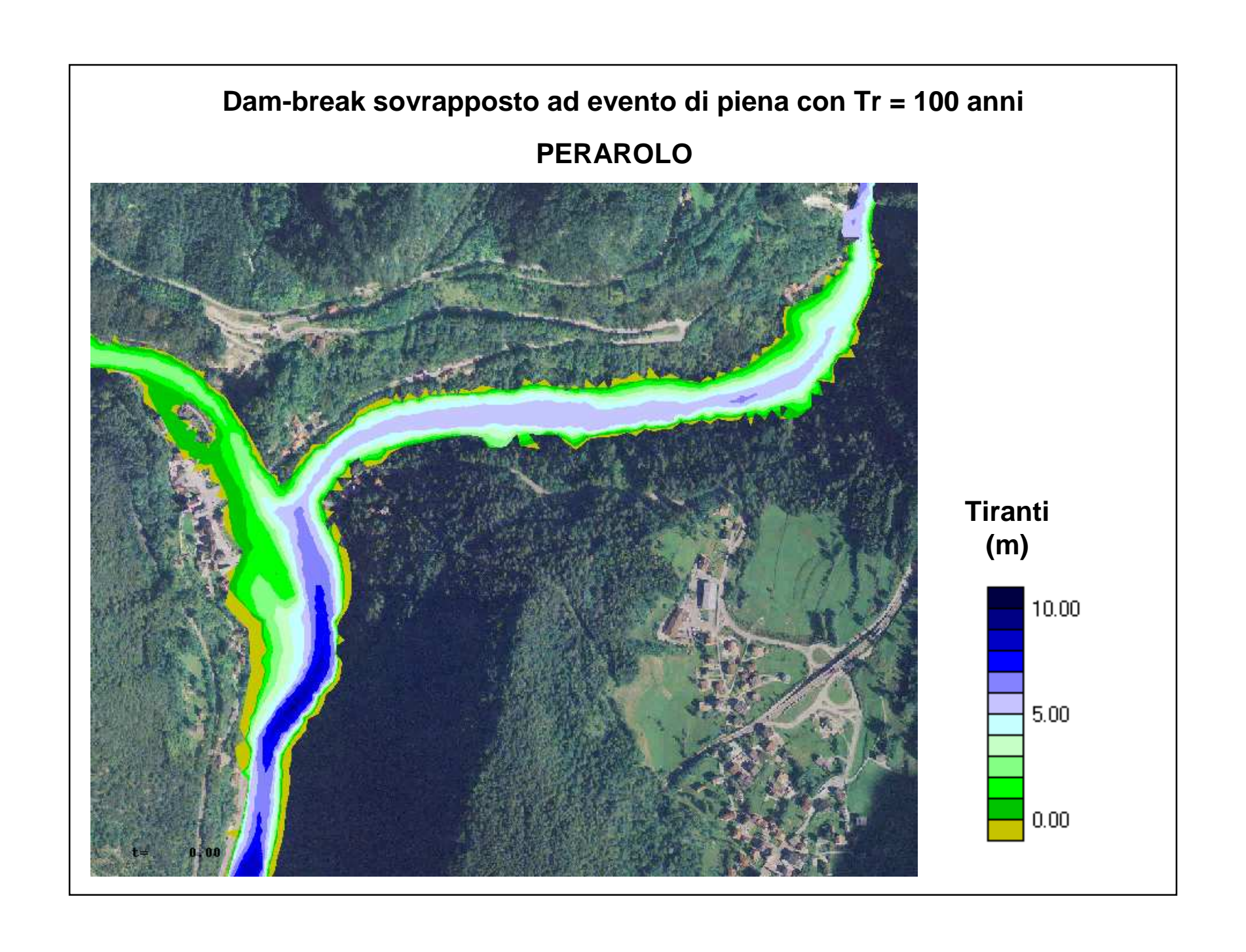


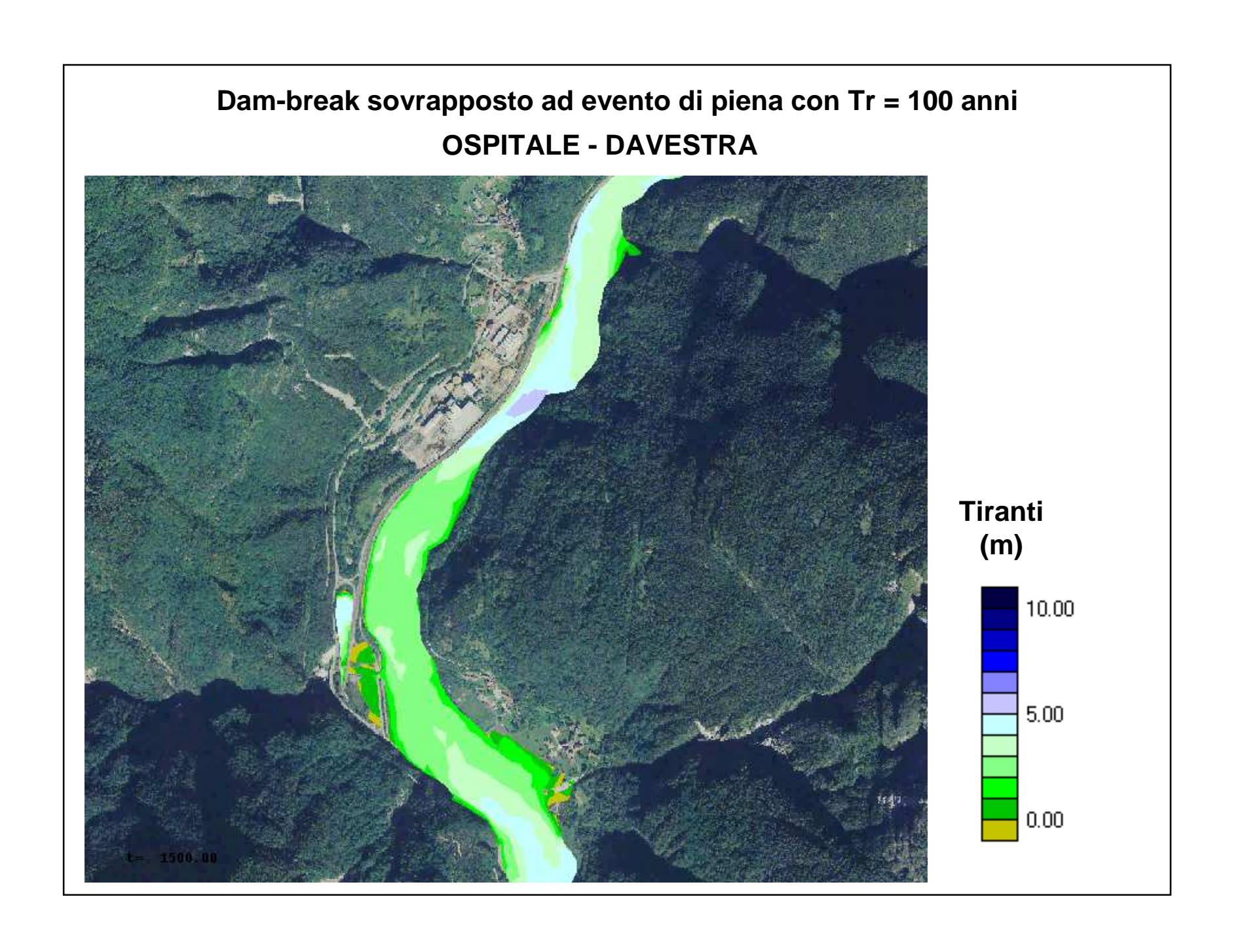


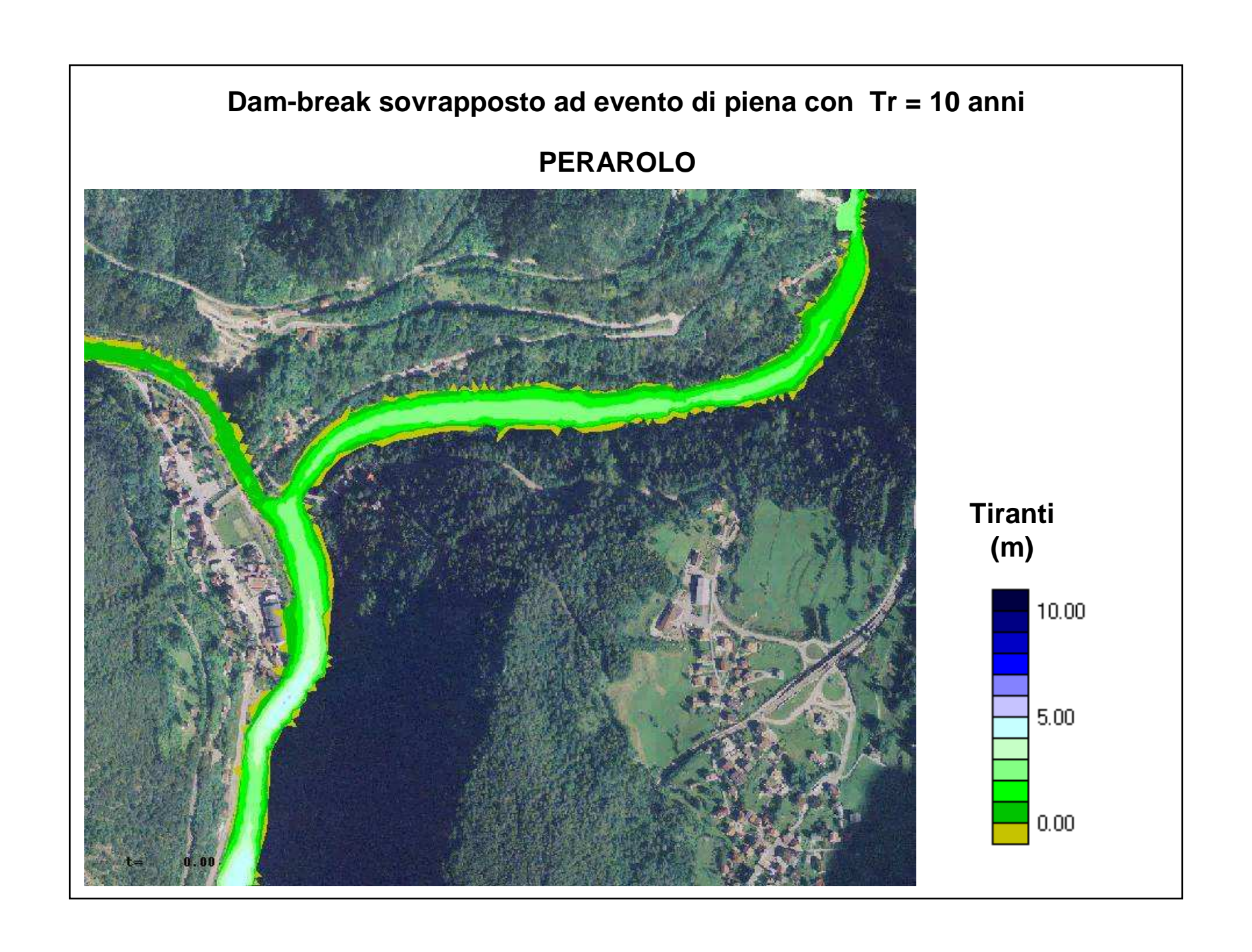
## Inviluppo dei tiranti massimi

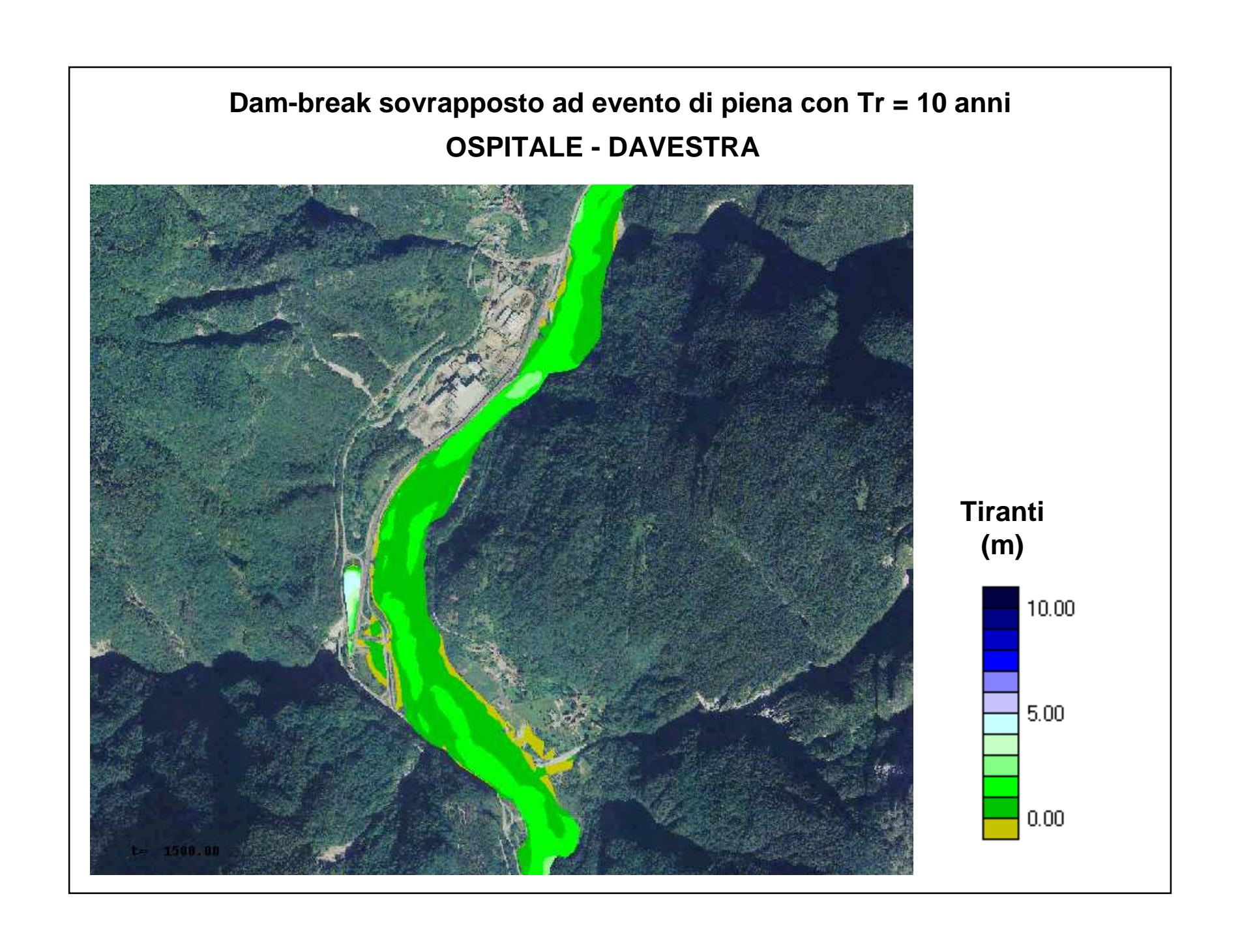
VARIANTE D'ALEMAGNA A MONTE DI OSPITALE

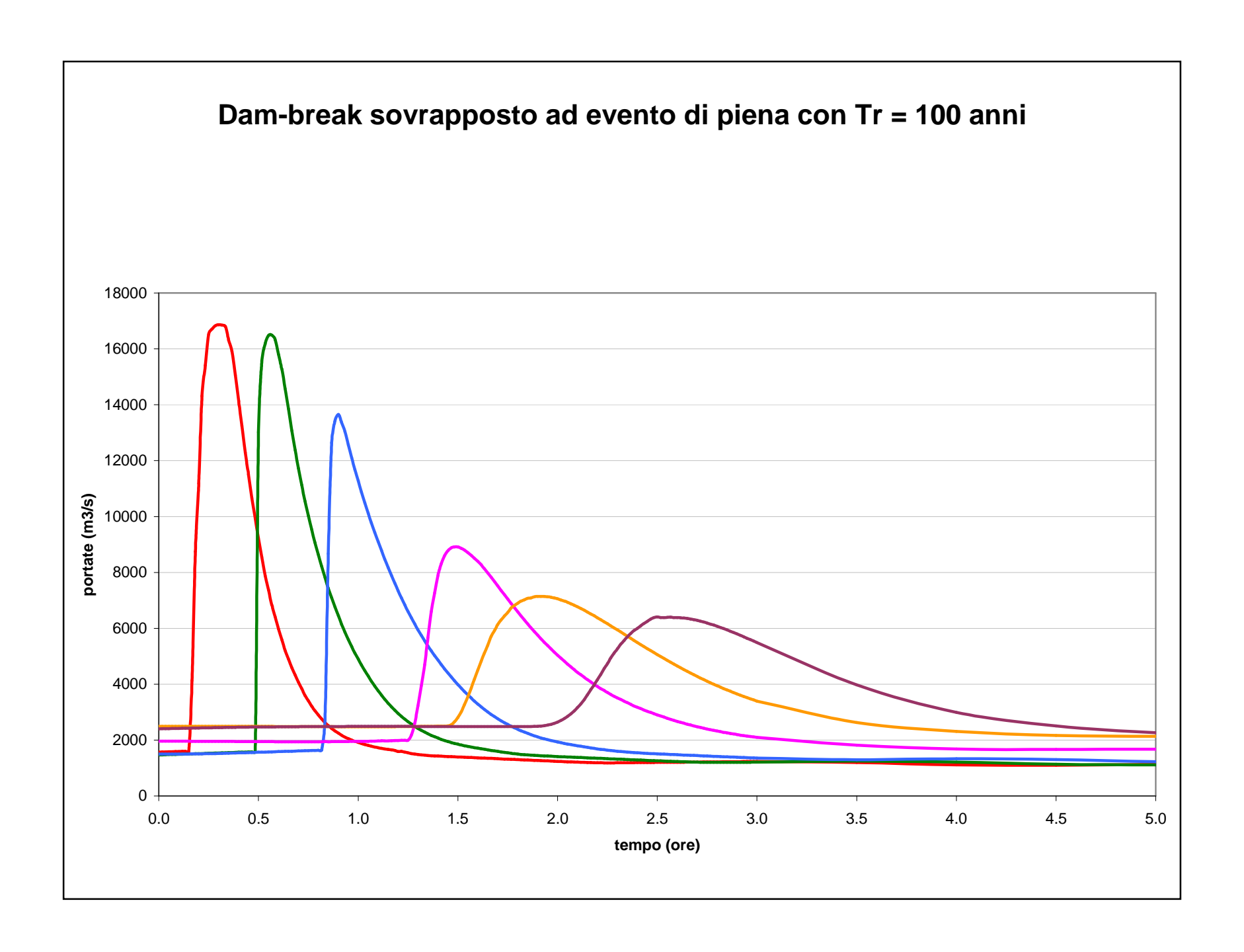
Dam-break sovrapposto ad evento di piena con Tr = 100 anni

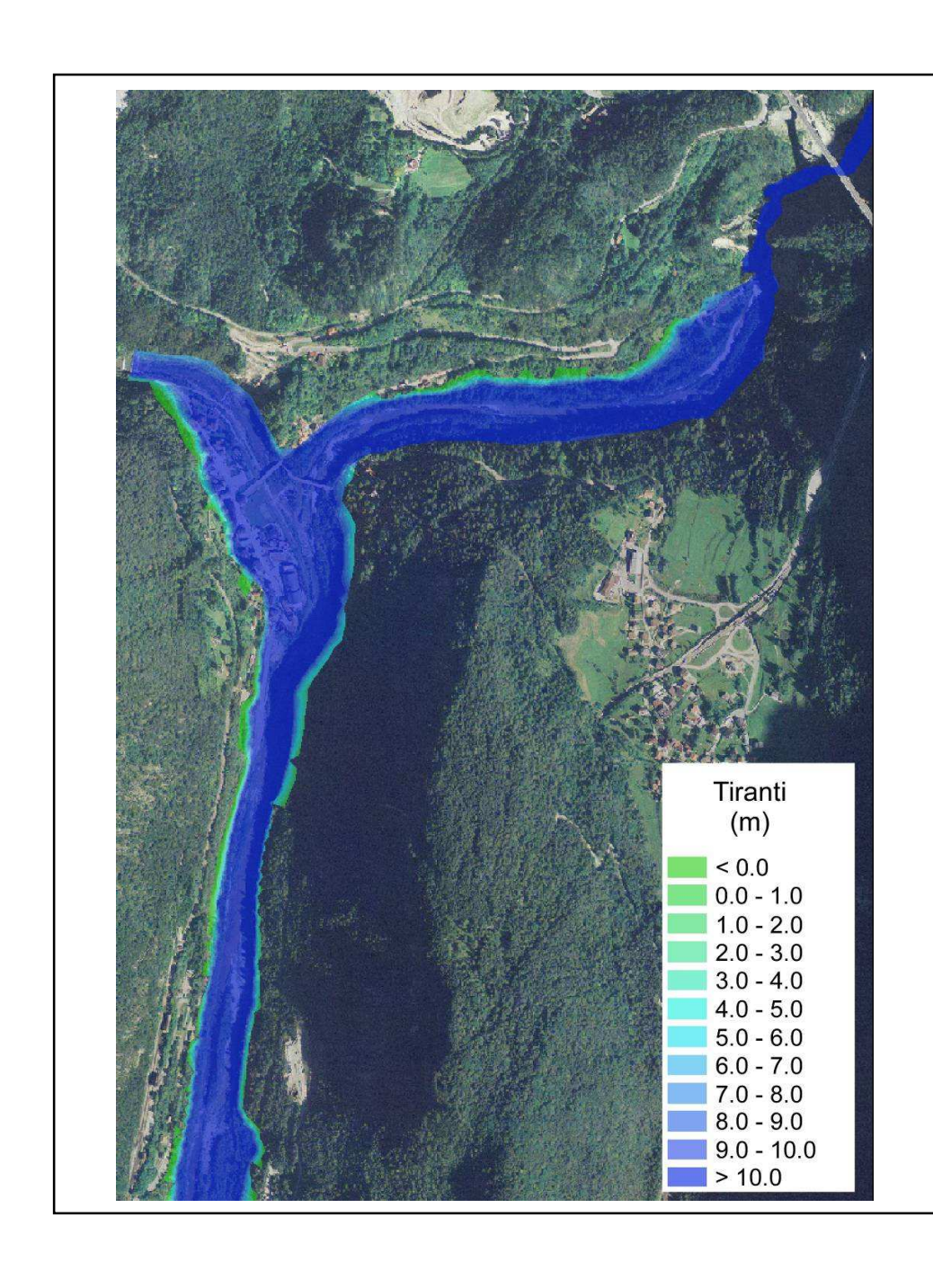












## Inviluppo dei tiranti massimi

**PERAROLO** 

Dam-break sovrapposto ad evento di piena con Tr = 100 anni